INSTITUTO FEDERAL DE EDUCAÇÃO, CIÊNCIA E TECNOLOGIA DO SERTÃO PERNAMBUCANO CAMPUS PETROLINA ZONA RURAL

CURSO DE PÓS-GRADUAÇÃO LATO SENSU EM MANEJO DE SOLO ÁGUA

EFICIÊNCIA DO PRODUTO *HYDRODIS* NA DESOBSTRUÇÃO DE EMISSORES EM SISTEMA DE IRRIGAÇÃO LOCALIZADA

WILTEMBERG DE BRITO PEREIRA

PETROLINA, PE 2022

WILTEMBERG DE BRITO PEREIRA

EFICIÊNCIA DO PRODUTO *HYDRODIS* NA DESOBSTRUÇÃO DE EMISSORES EM SISTEMA DE IRRIGAÇÃO LOCALIZADA

Trabalho de Conclusão de Curso apresentado ao IF SERTÃO-PE *Campus* Petrolina Zona Rural, exigido para a obtenção de título de Especialista em Manejo de Solo e Água.

PETROLINA, PE 2022

Dados Internacionais de Catalogação na Publicação (CIP)

P436 Pereira, Wiltemberg de Brito.

Eficiência do produto hydrodis na desobstrução de emissores em sistema de irrigação localizada / Wiltemberg de Brito Pereira. - Petrolina, 2022. 78 f. : il.

Trabalho de Conclusão de Curso (Especialização em Manejo de Solo e Água) - Instituto Federal de Educação, Ciência e Tecnologia do Sertão Pernambucano, Campus Petrolina Zona Rural, 2022.

Orientação: Prof. Dr. José Sebastião Costa de Sousa.

1. Ciências Agrárias. 2. Coeficiente de Uniformidade de Christiansen. 3. Coeficiente de Uniformidade de Distribuição. 4. Coeficiente de Uniformidade Estatístico. 5. Gotejamento. I. Título.

CDD 630

WILTEMBERG DE BRITO PEREIRA

EFICIÊNCIA DO PRODUTO HYDRODIS NA DESOBSTRUÇÃO DE EMISSORES EM SISTEMA DE IRRIGAÇÃO LOCALIZADA

Trabalho de Conclusão de Curso apresentado como requisito parcial para obtenção do título de Especialista em Manejo de Solo e Água, pelo Instituto Federal de Educação, Ciência e Tecnologia Sertão Pernambucano, *Campus* Petrolina Zona Rural.

Aprovada em: 29 de abril de 2022

Banca Examinadora

Jose Sebastiao Costa de Sousa:05739906466 Assinado de forma digital por Jose Sebastiao Costa de Sousa:05739906466 Dados: 2022.05.05 09:55:36 -03'00' Versão do Adobe Acrobat Reader: 2022.001.20117

Prof. Dr. José Sebastião Costa de Sousa – IFSertãoPE, *Campus* Petrolina Zona Rural

Documento assinado digitalmente

Marcos Eric Barbosa Brito
Data: 09/05/2022 13:39:57-0300
Verifique em https://verificador.iti.br

Prof. Dr. Marcos Eric Barbosa Brito – UFS, Campus do Sertão

Prof. Dr. Luís Fernando Magno de Souza Campeche – IFSertãoPE,

Allacespech.

Campus Petrolina

Zona Rural

RESUMO

A obstrução de emissores é um dos principais problemas da irrigação localizada, pois gera perdas na uniformidade e na distribuição da água na área irrigada, além de causar perdas de insumos e produção. Como estratégias de prevenção e recuperação, tem-se, basicamente a filtragem e a aplicação de produtos ácidos ou corrosivos, havendo diversos produtos comerciais disponíveis, um deles é o HYDRODIS da Rigrantec, cuja eficiência ainda não foi devidamente testada. Assim, objetivou-se com este trabalho avaliar a ação do produto HYDRODIS na desobstrução de gotejadores em pomar comercial de uva de mesa no município de Petrolina/PE. Como parâmetros de avaliação comparou-se os coeficientes de uniformidade de Christiansen (CUC), de distribuição (CUD) e estatístico (CUE), bem como a vazão unitária média, antes e após aplicação do produto. O ensaio foi conduzido em 3 subunidades de irrigação, de um sistema de irrigação composto de fileiras duplas de tubogotejadores de 16 mm, com gotejadores espaçados em 0,50 m e vazão unitária de 3,20 L h⁻¹ à pressão de serviço de 20 mca. Adotou-se a metodologia de coleta de dados (vazão) em 16 emissores por subunidade de irrigação, distribuídos simetricamente em 4 linhas laterais. A vazão dos emissores foi obtida pelo método direto, mensurando a quantidade de água aplicada no intervalo 60 segundos por meio de gravimetria em duplicata. A dose do produto HYDRODIS usada foi a recomendada pelo fabricante, 200 mL ha⁻¹ ou 200 mL por 1000 L de calda para a fertirrigação. Após aplicação o produto ficou 12 horas em repouso no sistema para oportunizar o efeito desobstrutor. Observou-se que a aplicação do produto HYDRODIS melhorou os coeficientes CUC, CUD e CUE que passaram, em média, de 93,20, 88,99 e 90,91 para 95,10, 92,00 e 93,81%, respectivamente, e a vazão unitária saiu de 2,86 para 3,57 para L h-1, gerando reduções no tempo de bombeamento da ordem de 20%. Assim, para o universo testado, afirma-se que o produto HYDRODIS mostrou-se eficaz na desobstrução de gotejadores.

Palavras-chave: Coeficiente de Uniformidade de Christiansen; Coeficiente de Uniformidade de Distribuição; Coeficiente de Uniformidade Estatístico; Vazão Unitária; Gotejamento.

Ao Senhor Jesus Cristo

Aos meus pais, Marlene de Brito Pereira e Antônio Nogueira Pereira, a minha irmã Cherla Patrícia de Brito Pereira, pelo amor, carinho, dedicação e constante presença em minha vida.

AGRADECIMENTOS

Ao meu Senhor Jesus Cristo, por ter dado proteção constante e direcionamento na minha caminhada.

Aos meus pais Antônio Nogueira Pereira e Marlene de Brito Pereira, que sempre me auxiliaram e incentivaram a seguir em frente.

A minha irmã Cherla Patrícia de Brito Pereira, que também me confortou nas horas difíceis e me ajudou quando precisei.

Ao Prof. José Sebastião Costa de Sousa por ter sido o meu orientador neste trabalho cientifico, responsável fundamental para a materialização deste, onde sem ele nada do que foi feito, teria sido concretizado.

Aos companheiros de pós-graduação Adiel Sousa Silva, Aldoberison J. P. da Silva, Caíque Barbosa dos Santos, Edvaldo da Rocha Braga, Érico B. Cavalcanti, Evandro M. Pitanga Jr, Evanilza S. Rodrigues, Fabio G. F. Silva, Francisco de Assis Freire, Francisco J. P. Celestino, Gustavo Carvalho S. Cardozo, Ítalo L. Oliveira Santana, Iuri Lima Silva, Ivangela N. da Silva, Joice Layanne G. Rodrigues, José Mendes Cardoso, Kaian T. Hasegawa, Karla R. S. Amariz, Kathiane R. Souza, Lorena Alencar Martins, Luis Almeida Santos, Marcio Kaique Lucio Alves, Marcos José Ezequiel Marcostony da Cruz Souza, Maria Núbia S. R. Marques e Natalia Teixeira de Lima, muito obrigado pela parceria.

Aos Professores da Pós-Graduação do IF SERTÃO-PE Fábio Freire, Cícero Antônio, Luís Fernando, Marlon Gomes, Vitor Prates, Rodolfo Peixoto e Marcos Masutti, pelo compromisso com as aulas e a dedicação aos discentes do curso.

À fazenda CAPPELLARO FRUITS, em nome do seu gerente de produção, Wandenbergh que disponibilizou a área para realização do ensaio e permitiu as visitas e avaliações durante a realização do trabalho.

Ao funcionário da fazenda CAPPELLARO FRUITS, José Claudio responsável pela manejo da irrigação e a nutrição das plantas, e que teve impacto decisivo e crucial para realização deste trabalho.

Aos funcionários do IF SERTÃO-PE, que de alguma forma contribuíram para o cumprimento deste trabalho.

Enfim, a todos que colaboram direta ou indiretamente para a realização deste trabalho.

EPÍGRAFE

E os vossos filhos e as vossas filhas profetizarão, os vossos jovens terão visões, e os vossos velhos terão sonhos; E também do meu Espirito derramarei sobre os meus servos e as minhas servas naqueles dias, e profetizarão; E farei aparecer prodígios em cima, no céu, e sinais em baixo na terra, sangue, fogo e água (Atos dos Apóstolos Cap. 2 versículos 16 a 19)

LISTA DE ILUSTRAÇÕES

Figura 1. Diagrama da disposição da malha hidráulica e subunidades da área
experimental
Figura 2. Diagrama simplificado da disposição da área experimental por subunidade.
29
Figura 3: A) Coleta de água dos emissores simultâneos na área experimental, por
subunidade. B) Pesagem do volume de água coletada30
Figura 4: A) Medição de pressão na casa de filtro. B) Medição de pressão nos finais
de linhas laterais31
Figura 5. Grau de entupimento dos emissores localizados nos finais de mangueiras
(linhas laterais) antes e após aplicação do HYDRODIS36
Figura 6. Desnível máximo nas subunidades de irrigação do ensaio. Imagem obtida
do Google Earth (2021), Petrolina/PE37

LISTA DE TABELAS

Tabela 1: Parâmetros físico-químicos na qualidade de água sobre o risco em
entupimento nos sistemas de irrigação localizada20
Tabela 2: Valores limites para intepretação em relação a qualidade de água em
sistemas de irrigação, proposto por AYERS; WESTCOT (1991)20
Tabela 3: Especificações das subunidades de irrigação utilizados no experimento. 25
Tabela 4: Características físico-químicas do produto HYDRODIS®
Tabela 5: Paramentos físico-químicas da água de irrigação para o mês fevereiro de
2021, ponto de coleta núcleo N8. A classificação de água quanto a salinidade e
sodicidade, baseou-se pela proposta feita por Richards (1954)28
Tabela 6: Valores de referência de valores do CUC, CUD e CUE
Tabela 7: Vazão média de emissores (L h-1) nas subunidades de irrigação (Sub)
analisadas antes e após aplicação do produto HYDRODRIS35
Tabela 8: Registros das pressões observadas (em Bar) nos finais das linhas laterais
nas subunidades de irrigação (Sub) investigadas antes e após aplicação do produto
HYDRODRIS37
Tabela 9: Valores e classificação dos para os diferentes tipos de coeficientes de
uniformidade para sistema de irrigação38
Tabela 10: Simulação para 1,00 hectare de uva de mesa irrigada em Petrolina/PE
referentes aos custos com e sem o produto HYDRODIS em termos consumo de água
energia elétrica e tempo de funcionamento do sistema de irrigação41

LISTA DE ABREVIATURAS E SIGLAS

AGROQUIM – Empresa do setor de produtos para agricultura

AUTOCAD – Software computacional de engenharia e desenho técnico

AZUD – Empresa do setor de matérias de irrigação

BCB - Banco Central do Brasil

DINC – Distrito de Irrigação Senador Nilo Coelho

HYDRODIS – Produto comercial de limpeza para sistemas de irrigação

IFSERTÃO-PE – Instituto Federal de Educação, Ciência e Tecnologia de Pernambuco

INMET – Instituto Nacional de Meteorologia

MAPA - Ministério de Agricultura, Pecuária e Abastecimento

NAANDANJAIN – Empresa do setor de materiais de irrigação

NEOENERGIA – Empresa do setor de energia elétrica de Pernambuco

OXI PREMIUM 15 – Desinfetante bactericida e fungicida

R – Software computacional estatístico

RIGRANTEC – Empresa do setor de produtos para agricultura

SULFACID - Fertilizante azotado e acidificante

THEBE Bombas Hidráulicas – Empresa do setor de materiais para irrigação

TECNOFOS 40A – Produto comercial de limpeza para sistemas de irrigação

LISTA DE SÍMBOLOS

mm - milímetro m - metro ha - hectare s - segundo min – minuto h - hora mL - mililitro L – litro L d⁻¹ – litros pode dia m³ h⁻¹ – metros cúbicos por hora m³ d⁻¹ – metro cúbicos por dia Bar - medida de pressão mca – metros de coluna de água mL L⁻¹ – mililitro por litro mL 1000 L⁻¹ – mililitro por 1000 litros mmolc L⁻¹ – milimol por litro mg L⁻¹ – miligrama por litro dS m⁻¹ - decisiemens g cm⁻³ – gramas por centímetro cúbico pH – potencial Hidrogeniônico % – Porcentagem N° - Número CUC – Coeficiente de Uniformidade de Christiansen CUE – Coeficiente de Uniformidade Estatístico CUD – Uniformidade de Distribuição Ef – Eficiência de sistema de irrigação GE – Grau de Entupimento ∆ (%) –Variação de pressão (CIH) 12 N - ácido clorídrico (SO4H2) 36 N - ácido sulfúrico (NO3H) 16 N – ácido nítrico (PO4H3) 45 N - ácido fosfórico Ca - Cálcio Al – Alumínio Fe - Ferro Na - Sódio Cl- - Cloro CaCO₃ – Carbonato de Cálcio HCO₃⁻ - Bicarbonato CE – Condutividade Elétrica RAS – Relação de Adsorção de Sódio Mesh – número de aberturas por polegadas em elementos filtrantes Micron – número de aberturas por micra em elementos filtrantes R\$ - moeda monetária real Cv - cavalo vapor

C1S1 – classificação de qualidade de água

- q vazão ° grau
- $^{\circ}$ minutos
- "-segundos
- S Sul
- W Oeste

SUMÁRIO

1 INTRODUÇÃO	15
2 REFERENCIAL TEÓRICO	17
2.1 VANTAGENS DO SISTEMA DE IRRIGAÇÃO LOCALIZADO	17
2.2 SUSCETIBILIDADE E ORIGEM DAS OBSTRUÇÕES EM IRRIGAÇÃ	'O
LOCALIZADA	17
2.3 PRÁTICAS USUAIS PARA DESOBSTRUÇÃO DE EMISSORES	21
3 OBJETIVOS	24
3.1 OBJETIVO GERAL	24
3.2 OBJETIVOS ESPECÍFICOS	24
4 MATERIAL E MÉTODOS	25
4.1 LOCALIZAÇÃO DO EXPERIMENTO	25
4.2 DESCRIÇÃO DO EXPERIMENTO	25
4.3 FORMA DE COLETA E DADOS ANALISADOS	28
4.4 ANÁLISE DE VIABILIDADE ECONÔMICA E AMBIENTAL	33
4.5 ANÁLISE ESTATÍSTICA DOS DADOS	34
5 RESULTADOS E DISCUSSÃO	35
6 CONCLUSÕES	43
7 REFERÊNCIAS	
8 APÊNDICE	54
9 ANEXOS	67

1 INTRODUÇÃO

A região do Submédio do Vale do São Francisco apresenta as condições edafoclimáticas favoráveis para a produção vegetal, em especial a fruticultura, contudo, isso só é viável com o emprego da irrigação (TEIXEIRA et al., 2014), com destaque para sistemas localizadas (gotejamento).

O emprego dos sistemas de irrigação localizados gera aumento de produtividade agrícola, pois a água é fornecida em quantidade e no momento adequado, próximo a zona radicular das plantas (NASCIMENTO et al., 2016). Aliado a isso, é possível que os fertilizantes sejam aplicados via água de irrigação aumentando a eficiência e o aproveitamento de nutrientes e água pelas plantas (BERNARDO et al., 2006).

A fertirrigação, por si, promove economia no uso de fertilizantes, controle da profundidade de sua aplicação, menor incidência de doenças, economia de mão-de-obra e menor trânsito de máquinas na lavoura (ALVARENGA, 2004), evitando a compactação do solo e possibilitando fazer um maior fracionamento das adubações, dentre outras vantagens.

Os pequenos diâmetros dos emissores, por outro lado, podem deixar os sistemas de irrigação localizados mais suscetíveis a incrustações com a aplicação de fertilizantes via água de irrigação (fertirrigação), sendo um risco ao sistema e produção (CUNHA et al., 2013).

Pizarro (1996) e Vilela et al. (2003) afirmam que o problema de entupimento de emissores é causado, na maioria dos casos, pela natureza biológica, química e física contidas na água utilizada, e que o uso de nutrientes via água de irrigação pode potencializar o desenvolvimento de microrganismo, elevando o risco de entupimento dos gotejadores.

O entupimento de emissores é sem dúvidas, um dos grandes problemas de manejo encontrado por usuários de sistemas de irrigação localizado, pois, mesmo um pequeno número de emissores obstruídos pode diminuir consideravelmente a uniformidade de distribuição e reduzir a produtividade das culturas (BORSSOI et al., 2012).

Com o emissor obstruído, as únicas alternativas encontradas, são a substituição ou a adoção de práticas de recuperação dos mesmos, que,

inevitavelmente, acarretam em aumento nos custos de produção e, em situações mais severas, torna-se até ineficientes com a perda dos emissores (GILBERT et al., 1979).

O uso de ácidos para desobstrução de emissores é uma prática amplamente difundida para recuperação e/ou limpeza de sistemas de irrigação, pois promove a redução do pH da água, que por sua vez dificulta a formação de precipitados químicos, aumentando a solubilidade desses elementos, mantendo-os em solução (NAKAYAMA & BUCKS, 1986; TEIXEIRA, 2006; MEDEIROS et al., 2008).

A melhor estratégia a ser adotada para evitar a obstrução nos emissores e nas linhas de distribuição, é a prevenção (RESENDE, 1999). E o melhor manejo combina um sistema de filtragem eficiente junto a limpeza periódica do sistema de irrigação, que pode ser realizado com produtos específicos, que devem ser escolhidos com base na natureza da contaminação da malha hidráulica e dos emissores, de modo a prevenir e/ou desobstruir parcial ou totalmente o sistema (RESENDE et al., 2000).

E também pela falta de trabalhos científicos que demonstram o uso e eficiência de novos produtos desobstruentes utilizados pelo irrigantes, como é o caso HYDRODIS, voltado a aplicações agrícolas, em especial, a área de irrigação e por vários relatos de uso em campo pelos usuários de sistemas de irrigação deste produto, faz-se necessário a constatação por meio de ensaio técnico, afins de comprovar ou não os resultados empíricos positivos relatados sobre o produto HYDRODIS, que pode expressar resultados semelhantes, ou até mesmo melhores em relação a técnicas já usuais, na obstrução de emissores em sistemas localizados, e este fato hipotético pode ser devido ao produto ser constituindo de ácidos orgânicos (ácido húmico e/ou fúlvico).

Desta forma, com este trabalho, buscou-se avaliar a ação do produto HYDRODIS® para desobstrução em sistema de irrigação por gotejamento.

2 REFERENCIAL TEÓRICO

2.1 VANTAGENS DO SISTEMA DE IRRIGAÇÃO LOCALIZADO

No contexto atual, não se imagina que a técnica de irrigação localizada seja posicionada somente para suprir a demanda de hídrica das plantas, mas também leva "embarcado" a nutrição mineral e alguns tratamentos fitossanitários nos cultivos por meio da irrigação, fator este devido as características de aplicação de água próximo à zona de concentração das raízes das plantas (FOLEGATTI, 1999).

Outro ponto que Mantovani et al. (2009) ressalta, é a melhor uniformidade de distribuição de um sistema de irrigação localizado, pelo fato de promover uma disponibilidade de água de irrigação nos emissores mais homogênea e igualitária até as plantas, sem risco de excessos ou déficit hídrico dentro da área de cultivo. E que o acompanhamento periódico deste parâmetro pode auxiliar na prevenção ou apontar problemas na vazão do sistema.

E por fim, proporcionar ao produtor rural realizar a fertirrigação, que nada mais é que aplicar fertilizantes via água de irrigação, quando há a necessidade de reposição hídrica no cultivo, comprovado ser a maneira mais eficiente, econômico e processo ser fácil de execução (BASSO et al., 2010).

2.2 SUSCETIBILIDADE E ORIGEM DAS OBSTRUÇÕES EM IRRIGAÇÃO LOCALIZADA

Devido as suas características hidráulicas e estruturais, o sistema de irrigação localizado apresenta uma elevada suscetibilidade ao entupimento, devido a isso faz necessário conhecer as propriedades físico-químicas da água que será utilizada, pois nela podem estar presentes elementos que causem obstrução nos emissores, afetando a vazão e consequentemente diminuindo a eficiência do sistema (CAPRA; SCICOLONE, 1998).

Para avaliar o grau de susceptibilidade ao entupimento de um emissor, pode-se determinar com alguns parâmetros de avaliação hidráulica, entre eles podemos citar a uniformidade de distribuição (UD), o grau de entupimento (GE) e o coeficiente de variação de vazão (CVq). Estes índices dão um indicativo do estado de

funcionamento e desempenho dos sistemas de irrigação em campo (BRAUER et al., 2011; RIBEIRO et al., 2008).

O uso de Fontes de nutrientes incompatíveis ou mau gerenciadas administradas na fertirrigação, vem sendo também apontada como Fonte causadora de entupimentos em gotejadores, devido a obstrução química (MEDEIROS et al., 2008; BARROS et al., 2009; RIBEIRO et al., 2010; DEUS et al., 2011).

Dentre as principais Fontes causadoras de entupimento em sistemas localizados, compreende os de natureza química, relacionada à qualidade de água principalmente, fator essencial para a precipitação dos elementos Cálcio e Ferro, os de natureza física, relacionado a partículas do solo e obstrução devido animais (formigas, aranhas, ovos de lesmas etc.), e de natureza biológica, que é predominantemente constituída de algas e mucilagem bacteriana, devido ao uso de Fonte de águas superficiais, e crescimento biológico favorecido a alta frequência de temperaturas na faixa ótima para os microrganismos (GILBERT e FORD, 1986; RESENDE et al., 2001).

Resumidamente, a obstrução de emissores está fortemente ligada a qualidade da água de irrigação, e esta por sua vez implicar em problemas de natureza biológica, química e física (VILELA et al., 2003). O problema de natureza biológica, é causada basicamente por colônias de algas e bactérias, devido as condições favoráveis de crescimento microbiano no meio e pela forma de captação de Fontes superficiais de água são comuns a proliferação destes microrganismos, que ao juntarse a outras colônias ou precipitados, formam aglomerados maiores e causa entupimento dos gotejadores (ALVARENGA, 2004).

Já o problema de natureza química, ocorre quando o pH da solução fica adequado para certas reações químicas, devido a mistura de Fontes de fertilizantes não compatíveis, devido ao mau manejo na fertirrigação e formam precipitados no sistema (MELO et al., 2008). Ou comumente, quando a Fonte de água é de péssima qualidade e/ou oriunda de águas subterrâneas, que normalmente apresentam altos concentrações de carbonato de cálcio e o sulfeto de cálcio, que podem precipitar e eventualmente formar incrustações nas paredes das tubulações e emissores, restringindo a passagem da água.

Notadamente, os elementos químicos presentes na água de irrigação interferem decisivamente na eficiência de uniformidade de aplicação de água pelos emissores, dentre eles os íons carbonato e bicarbonato levam uma maior atenção

quanto aos riscos de entupimentos. Estes elementos químicos estão associados nas reações e de equilíbrio do pH da água, associado também ao gás carbônico dissolvido na mesma, fato este que dependendo das concentrações encontrados na análise de água podem causar precipitados no interior das tubulações de irrigação, pelo fato inerente que o íon bicarbonato (HCO₃-) em águas naturais não reduz e nem oxidar, todavia forma com muita facilidade o precipitado carbonato de cálcio (CaCO3) interferindo no fluxo livre de água dentro das tubulações e emissores (ALVARENGA et al., 2012; LIMA et al., 2014).

A presença de bicarbonato na água de irrigação pode ser contornada, adotando alguns manejos, todavia este manejo químico é difícil em operação e ocasiona um aumento de custos de insumos, fato este que só é plausível quando adotado em culturas de alto retorno financeiro, como por exemplo a fruticultura irrigada. Observa-se que o uso de alguns ácidos fortes, como o ácido sulfúrico conseguem reduzir o pH alcalino pela presença do bicarbonato, administrando o ácido sulfúrico na concentração de 0,041 mL L-1 conseguiu reduzir uma unidade de pH, com dose dobrada de ácido em águas do Apodi-RN. Contudo o uso de ácido sulfúrico ou outros podem neutralizar quimicamente até 90% do bicarbonato presente na água (PIZARRO, 1996; MORAIS et al.,1999; AYERS; WESTCOT, 1991; WHIPKER et al., 1996).

Outro elemento químico presente em águas subterrâneas e que traz prejuízo ao sistema de irrigação é o Ferro (Fe) pois promove incrustações e corrosão das tubulações (RIBEIRO et al., 2005), aumentando a perda de carga no sistema de irrigação (MOURA et al., 2011) e favorecendo a obstrução de emissores (SANTOS; HERNANDEZ, 2013).

De modo resumindo, os parâmetros físico-químicos da água para irrigação, impactam de maneira substancial no entupimento dos emissores, e estes parâmetros devem ser observados para verificar a qualidade da água quanto a suscetibilidade ao entupimento obstruções, de modo geral, para interpretação desses índices de qualidade de água, adota-se os limites propostos de Nakayama (1982) e, Ayers; Westcot (1991). Os parâmetros de qualidade físico-química da água de irrigação e seus respectivos limites encontram-se nas Tabelas 1 e 2.

Tabela 1: Parâmetros físico-químicos na qualidade de água sobre o risco em entupimento nos sistemas de irrigação localizada.

Problemas	Unidade	Restrições de uso					
robionido		Nenhum Moderado		Severa			
Físicos							
Sólidos em suspensão	mg L ⁻¹	< 50	50 – 100	>100			
Químicos	0,739						
рН	mg L ⁻¹	< 7,0	7,0 - 8,0	>8,0			
Sólidos Solúveis	mg L ⁻¹	<500	500 - 2.000	>2000			
Manganês	mg L ⁻¹	<0,1	0,1-1,5	>1,5			
Ferro	mg L ⁻¹	<0,1	0,1-1,5	>1,5			
Ácido Sulfídrico	mg L ⁻¹	<0,5	0,5-2,0	>2,0			
Biológicos							
Populações Bacterianas	n° max. mL ⁻¹	<10.000	10.000-50.000	>50.000			

Fonte: Nakayama (1982).

Tabela 2: Valores limites para intepretação em relação a qualidade de água em sistemas de irrigação, proposto por AYERS; WESTCOT (1991).

Problemas	Unidade	Grau de restrição de uso			
riodiomas	Ormadao	Nenhum	Leve a Moderado	Severa	
Salinidade					
CE (condutividade elétrica)	dS m ⁻¹	<0,7	0,7 - 3,0	>3,0	
STS (sólidos totais dissolvidos)	mg L ⁻¹	<450	450 – 2000	>2000	
Infiltração (avaliação usado RAS					
e CE)					
RAS= 0 - 3	dS m ⁻¹	>0,7	0,7-0,2	<0,2	
RAS=3-6	dS m ⁻¹	>1,2	1,2-0,3	<0,3	
RAS= 6 – 12	dS m ⁻¹	>1,9	1,9 - 0,5	<0,5	
RAS= 12 – 20	dS m ⁻¹	>2,9	2,9 - 1,3	<1,3	
RAS= 20 - 40	dS m ⁻¹	>5,0	5,0-2,9	<2,3	
Toxicidade Específica					
Sódio (Na)					
Irrigação de superfície	RAS	<3,0	3,0-9,0	>9,0	
Irrigação por aspersão	meq L ⁻¹	<3,0	>3,0		
Cloro (Cl)					
Irrigação de superfície	meq L ⁻¹	<4,0	4,0 – 10,0	>10,0	
Irrigação por aspersão	meq L ⁻¹	<3,0	>3,0		
Boro (B)	mg L ⁻¹	<0,7	0.7 - 3.0	>3,0	
Efeitos mistos					
Nitrogênio (NO ₃ - N)	mg L ⁻¹	<5,0	5,0 – 30,0	>30,0	
Bicarbonato (HCO ₃)	meq L ⁻¹	<1,5	1,5 – 8,5	>8,5	

Fonte: AYERS; WESTCOT (1991).

^{(1):} Apesar de que estas concentrações possam ser suficientes para causar num sistema de irrigação localizada, os problemas de Fitotoxidade podem ser detectados a concentrações inferiores a estas (ALMEIDA, 2009).

^{(2):} concentrações de ferro superiores a 5,0 mg L⁻¹ podem causar desequilíbrios nutritivos em determinados cultivos (ALMEIDA, 2009).

2.3 PRÁTICAS USUAIS PARA DESOBSTRUÇÃO DE EMISSORES

Como exposto, é sabido que por efeito de agentes físicos, químicos e biológicos, causa obstruções nos emissores/gotejadores. E o primeiro passo para resolução depende na determinação dos agentes na água envolvidos e a sua expectativa interação e sua dinâmica na água de irrigação (RAVINA et al., 1992).

Para consenso de vários autores, a adoção de um programa de manutenção no sistema de irrigação é a principal maneira de prevenir o aparecimento de problemas de entupimento, e verificações periódicas, para identificação de problemas hidráulicos como vazamentos, bloqueios e falhas no sistema que reduzem a pressão da rede e podem provocar alteração do fluxo de água no sistema e consequentes perdas de insumos e maior sedimentação/incrustação de nutrientes nas tubulações e emissores (NETAFIM, 2014; OLIVEIRA, 2011). Em sequência, deve-se analisar as Fontes de nutrientes, forma de mistura e a maneira com que se prática a fertirrigação. Qualquer que seja o fator de risco encontrado deve-se priorizar sua imediata correção.

Dentre as práticas usuais para prevenção e manutenção no sistema localizado, o uso de filtros é essencial para impedir a passagem de agentes contaminantes para a malha hidráulica e posterirormente emissores, associados ao uso de produtos de obstrução específicos (RESENDE et al., 2000). Busato et al. (2012) cita que o manejo preventivo e de limpeza adotado em águas com concentração consideráveis de Ferro (Fe) obteve resultados satisfatórios, quando utilizou a cloração com dicloroisocianurato de sódio.

De acordo com Liu e Mcavoy (2018), o uso de 5 ppm de hipoclorito de sódio (NaClO), com cloro ativo e não o cloreto, matar de forma eficiente as bactérias na água de irrigação, porém, pontuam que em Fontes de águas com elevados concentrações de colônias bacterianas fazer-se necessário aplicações continuadas de 0,5 a 1,0 ppm. Resultados semelhantes foram encontrados para desobstrução de tubulações ou gotejadores com aplicação de cloro, peróxido de hidrogénio, ácidos ou de uma combinação de ambos, para a contaminação de origem biológica devido a deposição de matéria orgânica e microrganismos (NETAFIM, 2014; OLIVEIRA, 2011; PEREIRA, 2004).

O uso de ácidos inorgânico é largamente adotado para o manejo de prevenção e limpeza do sistema de irrigação, e encontra vasto suporte na literatura

(RAIN, 1990). O uso de ácidos, como, ácido clorídrico (HCI) 12 N, ácido sulfúrico (SO₄H₂) 36 N, ácido nítrico (NO₃H) 16 N e ácido fosfórico (PO₄H₃) 45 N atuam reduzindo o pH da água, diminuindo o potencial de precipitação química (NAKAYAMA; BUCKS, 1986). A exemplo disso Almeida (2009) enfatizar que tratamento deve ser feito com uso de algum ácido de alta concentração e que garanta que dentro do volume de água do sistema de irrigação tenha uma concentração de 1 a 2% para atinge resultados significativos, e que a escolha do tipo de ácido adotado vai demandar quantidades especificas, afins de neutralizar a precipitação de CaCO₃, variado de 0,465 – 0,090 L m⁻³ ácido clorídrico (HCI 12), 0,155 – 0,030 L m⁻³ ácido sulfúrico (H₂SO₄), 0,349 – 0,068 L m⁻³ ácido nítrico (HNO₃ 16) e de 0,124 – 0,024 L m⁻³ ácido fosfórico (PO₄H₃).

Outra maneira usada para reduzir o pH na água de irrigação e diminuir o risco de entupimento nos emissores, é o uso de alguns fertilizantes a base de fosforo (P), como o MAP que contém fosforo e nitrogênio, e o próprio ácido fosfórico, por apresentar uma alta solubilidade e forte reação ácida (TISDALE, NELSON, BEATON, 1985). Porém, uso massivo e exclusivo fertilizantes fosfatados podem formar precipitados com Cálcio (Ca), Alumínio (Al) e Ferro (Fe), entre outros (NOVAES e SMYTH, 1999).

Entretanto, o emprego de ácidos inorgânicos causa dificuldades operacionais no manuseio do mesmo, por serem, extremamente perigosos, e pelo fato, que o uso massivo desses produtos prejudicar as propriedades químicas do solo, como pH ou mesmo tendo forte impacto negativo na vida microbiota do solo, em especial Fontes de Cloro (CI).

Uma alternativa viável, seria a adoção de produtos de baixa perigosidade no manuseio e que tenham menos ração no solo, diminuindo o impacto ambiental, como é o caso de ácidos orgânicos de baixo peso molecular, que além de ser Fonte de energia para os microrganismos do solo e biodegradável. Além de possuírem a capacidade de liberar nutrientes e remover precipitados (JAYARAMA et al., 1998; HUE, 1986).

Corroborando com isso, Figueiredo et al. (2004) observaram que o produto BIOTECH constituindo de 52% de ácido cítrico mais 48% de complexo enzimático, preveniu, parcialmente, a redução de vazão de um sistema localizado, de formar precipitados químicos, por sais e hidróxidos passivos, quando se adotou uma dose de 186 mL L⁻¹ do BIOTECH.

Porém, o uso destes produtos alternativos para desobstrução de emissores, muitas vezes não apresentam resultados conclusivos e mesmo satisfatórios, exemplo disto foi observado por Salgueiro e Paulo (2018), que avaliando ácido fosfórico (concentração de 72 e 75%), do ácido nítrico (concentração de 54%), Oxi Premium 15 (24% peroxido de hidrogênio + 16% ácido acético + 15% ácido peracético) e do Sulfacid (15% de nitrogênio total + 15% nitrogênio ureico + 41% trióxido de azufre), não verificaram efeito significativo entre os tratamentos bem como na redução do entupimento.

Já Dias et al. (2011) observaram que o uso do BIOTECH minimizou a redução da vazão causada por entupimento, mas não impediu a obstrução total dos tubogotejadores pelas soluções indutoras de precipitação.

3 OBJETIVOS

3.1 OBJETIVO GERAL

Avaliar a desobstrução de emissores e seu impacto na uniformidade de distribuição em um sistema de irrigação localizado, com a utilização do produto HYDRODIS®.

3.2 OBJETIVOS ESPECÍFICOS

Avaliar as vazões dos emissores, antes e após o uso do produto desobstruente;

Avaliar os coeficientes de uniformidade de distribuição de água, antes e após o uso do produto desobstruente;

Avaliar o custo/benefício da utilização do produto.

4 MATERIAL E MÉTODOS

4.1 LOCALIZAÇÃO DO EXPERIMENTO

O experimento foi realizado em área comercial de produção de uva fina de mesa, variedade patenteada *Sweet Jubille*, na Fazenda *Cappellaro Fruits* (coordenadas geográficas da sede 9º 16' 48.05" Sul, 40º 27' 14.03" Oeste, altitude média 388 m) sediada no perímetro de irrigação Senador Nilo Coelho, núcleo N8, no município de Petrolina/PE.

A região apresenta clima BSh (classificação climática de Köppen), ou seja, semiárido muito quente e com estação chuvosa no verão estendendo-se para o início do outono (AZEVEDO et al., 2003).

4.2 DESCRIÇÃO DO EXPERIMENTO

O ensaio foi realizado num sistema de irrigação por gotejamento com quatro 4 anos de uso, e consistiu na avaliação das vazões de emissores e nas pressões nas saídas de linhas laterais em subunidades de irrigação independentes (porém, abastecidas pela mesma artéria hidráulica). O experimento foi em delineamento em blocos casualizados (DBC), com 3 repetições, caracterizadas pelas próprias subunidade de irrigação, e 2 tratamentos (sem aplicação e com aplicação do HYDRODIS). As dimensões das subunidades de irrigação avaliadas encontramse especificadas na Tabela 3, e disposição destas no layout hidráulico da fazenda, nas Figuras 11A, 12A e 13A dos Apêndices. O layout da malha hidráulica do sistema de irrigação, e as subunidades avaliadas encontram-se na Figura 1.

Tabela 3: Especificações das subunidades de irrigação utilizados no experimento.

Subunidade	Area (ha)	Espaçamento de Plantas	N° de Linhas	N° de Plantas
1	0,672	3,50 x 2,00 m	10	960
2	0,739	3,50 x 2,00 m	11	1055
3	0,739	3,50 x 2,00 m	11	1055
		- *		

Fonte: Fazenda Cappellaro Fruits (2022).

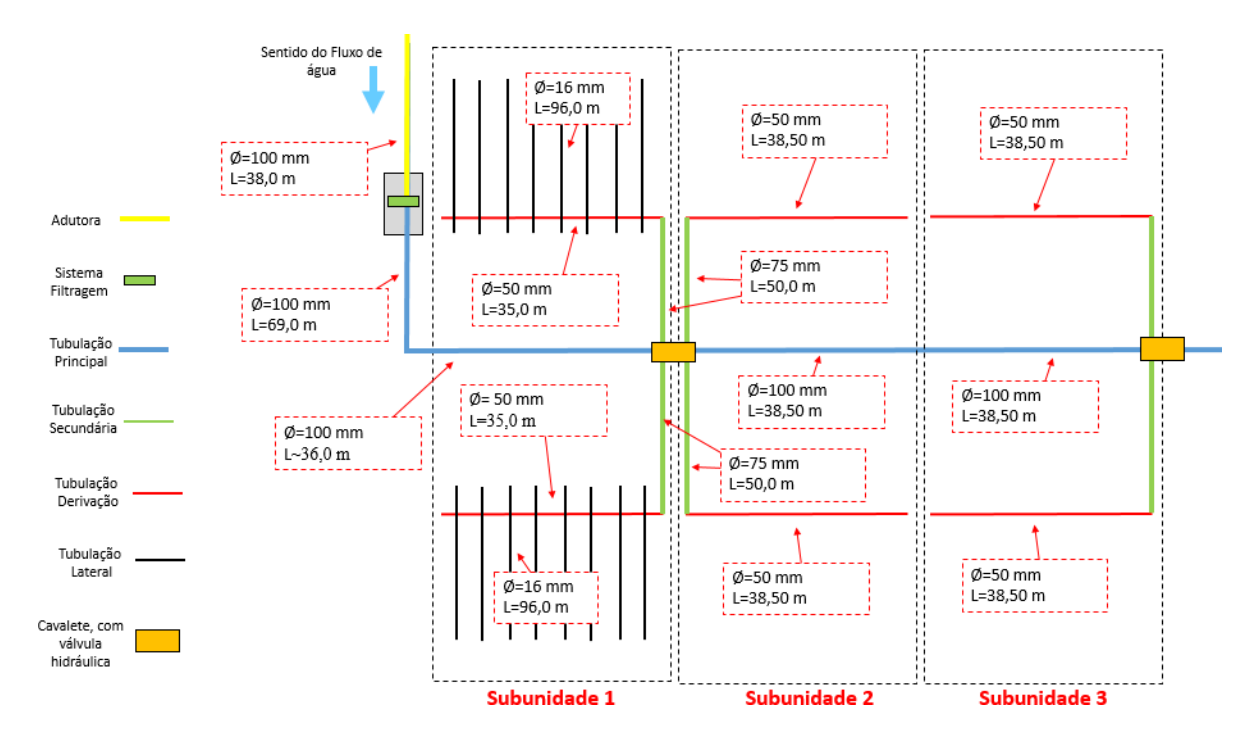


Figura 1. Diagrama da disposição da malha hidráulica e subunidades da área experimental.

As subunidades avaliadas eram constituídas por sistema de irrigação localizado, com fileira dupla de tubos gotejadores, espaçados em 0,80 m, em PEBD (polietileno de baixa densidade) de 16 mm, da fabricante NAANDANJAIN, modelo NaanTIF 25 16 mm, com design de emissores em labirinto tipo cascade, espaçados entre si em 0,50 m, vazão unitária padrão de 2,30 L h⁻¹ e pressão de trabalho na faixa de 1,00 bar. Maiores detalhes do tubogotejador podem ser consultados na Tabela 1N e Figuras 1N, 2N e 3N do Anexo.

A água utilizada para manejo de irrigação na área em estudo proveio da estação de bombeamento N° 30, do DINC (Distrito de Irrigação Senador Nilo Coelho), localizada no núcleo 8 do projeto de irrigação Senador Nilo Coelho. Normalmente a estação disponibiliza 11 horas por dia de água pressurizada, ofertando na entrada de cada lote (área) vazão média de 36 a 40 m³ h¹ com pressão de 2,00 a 4,00 bar (FAZENDA CAPPELLARO FRUITS, 2022).

A filtragem da água de irrigação, na fazenda, era feita por dois filtros de tela, da fabricante AZUD, modelo 2N, com elemento filtrante de poliamida reforçada com vibra de vidro, de 120 mesh (130 micron), vazão unitária de 30 m³ h⁻¹, e pressão máxima recomendada de 10 Bar, informações do filtro podem ser encontradas nas Figuras 4N, 5N, 6N e 7N do Anexo. A fertirrigação era realizada por meio de uma

bomba termoplástica do fabricante THEBE Bombas Hidráulicas, modelo APP13, potência de 1 CV, FS de 1,10, rotor de 110x4,5 (mm), sucção BSP 3/4", recalque 3/4" BSP e vazão de 3,0 m³/h (2,0 Bar), mais informações da bomba encontram-se nas Figuras 8N, 9N, 10N e na Tabela 2N dos Anexos. Associado a bomba injetora, tinhase um filtro de disco de 25 mm, para evitar que partículas precipitadas dos elementos químicos em solução fossem injetadas no sistema de irrigação.

Na Fazenda *Cappellaro Fruits*, o manejo de limpeza e prevenção de entupimentos dos emissores, já era feito com o uso do produto comercial TECNOFOS 40A®, a base de ácido fosfórico como especificado na Tabela 3N e Figura 11N dos Anexos. O tempo de avanço foi de 7 minutos nas subunidades de irrigação utilizados no ensaio, e injetou-se um volume de 500 L de água no sistema de irrigação (FAZENDA CAPPELLARO FRUITS, 2022).

No ensaio em descrição, contudo foi usado o produto HYDRODIS® da RIGRANTEC, mas detalhes do produto podem ser encontrados na Figura 12N dos Anexos. A dose comercial indicada para o produto em sistemas pouco incrustados é de 0,10 mL L⁻¹ e de 0,20 mL L⁻¹ (adotado nesta pesquisa) para sistema muito incrustados (RIGRANTEC, 2022). Informações do produto encontram-se na Tabela 4.

Tabela 4: Características físico-químicas do produto HYDRODIS®.

Categoria	Fertilizante nitrogenado e inibidor
Empresa	RIGRANTEC
Aspecto	Líquido límpido, âmbar-amarelo
Densidade	120 g/cm ³
Dosagem (fabricante)	100 ou 200 mL por 1.000 L de calda, ou por ha, para sistema novo ou pouco incrustado e para sistema usados ou muito incrustado, respectivamente.
Frequência (fabricante)	Após toda fertirrigação e/ou recuperação de sistema incrustados
Composição	Fonte de nitrogênio mineral e matéria orgânica
Registro do produto no MAPA ¹	RS – 11819 10078 - 7

Fonte: RIGRANTEC, 2022.

MAPA¹: Ministério de Agricultura, Pecuária e Abastecimento.

As avaliações foram efetuadas em duas etapas, inicialmente antes da aplicação do produto nas 3 subunidades, e a segunda após a realização do processo de desobstrução com o uso do HYDRODIS na solução desobstruente injetada via fertirrigação em cada tratamento (subunidade), aplicadas após as irrigações. O produto permaneceu no interior das tubulações por 12 h (período de repouso para reação do produto). Após este período, foi efetuada a lavagem das tubulações através da abertura de registros instalados nos finais de cada linha. Após 15 dias da aplicação

do HYDRODIS e sucessivas irrigações, realizou-se a 2° leitura de vazões nos gotejadores, e pressão nas linhas laterais.

A água disponível para irrigação não foi analisada, porém, para o período de avaliação deste trabalho (março a abril de 2022), foi considerado a análise de água disponibilizada pelo próprio DINC (Distrito de Irrigação Senador Nilo Coelho), que é o órgão responsável por ofertar água no núcleo 8. Na análise de água aponta que a água pelo período mais próximo de execução do trabalho apresenta risco leve para o Ferro (Fe) e de moderado para pH (NAKAYAMA, 1982). As informações dos parâmetros físico-químicas da água oriunda do núcleo 8, encontrasse na Tabela 5, e o laudo com a análise feita pelo DINC está disposto na Figura 14N dos Anexos.

Tabela 5: Paramentos físico-químicas da água de irrigação para o mês fevereiro de 2021, ponto de coleta núcleo N8. A classificação de água quanto a salinidade e sodicidade, baseou-se pela proposta feita por Richards (1954).

Parâmetro	Unidade	Valor ou classificação
рН		7,20
CE – 25°C	dS m ⁻¹	0,10
Dureza Total - CaCO3	mg L ⁻¹	3,40
Relação Adsorção Sódio (RAS)	(mmol L ⁻¹) ^{0,5}	0,12
Sódio (Na⁺)	mmoL L ⁻¹	0,11
Magnésio (Mg ²⁺)	mmoL L ⁻¹	0,32
Cálcio (Ca ²⁺)	mmoL L ⁻¹	0,36
Potássio (K+)	mmoL L ⁻¹	0,05
Carbonatos (CO ₃ ²⁺)	mmoL L ⁻¹	0,00
Bicarbonatos (HCO ₃)	mmoL L ⁻¹	0,60
Sulfatos (SO ₃ ²⁺)	mmoL L ⁻¹	0,08
Cloretos (CI)	mmoL L ⁻¹	0,20
Cobre (Cu)	mg L ⁻¹	0,01
Ferro (Fe)	mg L ⁻¹	0,01
Manganês (Mn)	mg L ⁻¹	0,01
Zinco (Zn)	mg L ⁻¹	0,01
SOMA (Cátions)	mmoL L ⁻¹	0,83
SOMA (Änions)	mmoL L ⁻¹	0,88
Classificação Dureza	-	Branda
Classificação da água	-	C1S1

FONTE: DINC (2022).

4.3 FORMA DE COLETA E DADOS ANALISADOS

Os dados indicativos do efeito dos tratamentos foram:

Vazão dos emissores (q):

 Foram realizados testes gravimétricos com 2 repetições a partir da coleta de água em tempos predefinidos de 60 segundos;

- Coletaram-se 32 vazões distribuídas em cada subunidade de irrigação. Os pontos amostrados foram os emissores finais das linhas laterais localizadas em quatro linhas laterais, simetricamente espaçadas, das linhas de derivação (Figura 2). Como se tratava de fileira dupla, as médias dos dois gotejadores compuseram o valor da vazão do emissor para o ponto em questão. Nos pontos A e D, além das vazões, foram aferidas as pressões manométricas, com uso de um manômetro analógico adaptado.
- Os volumes de água foram coletados em copos descartáveis de 200 mL, e mensurados a partir do método gravimétrico, usando-se uma balança digital semianalítica, com precisão de 1,00 g (Figura 3A e 3B). Para o teste considerou-se densidade da água igual a 1,00 g cm³.

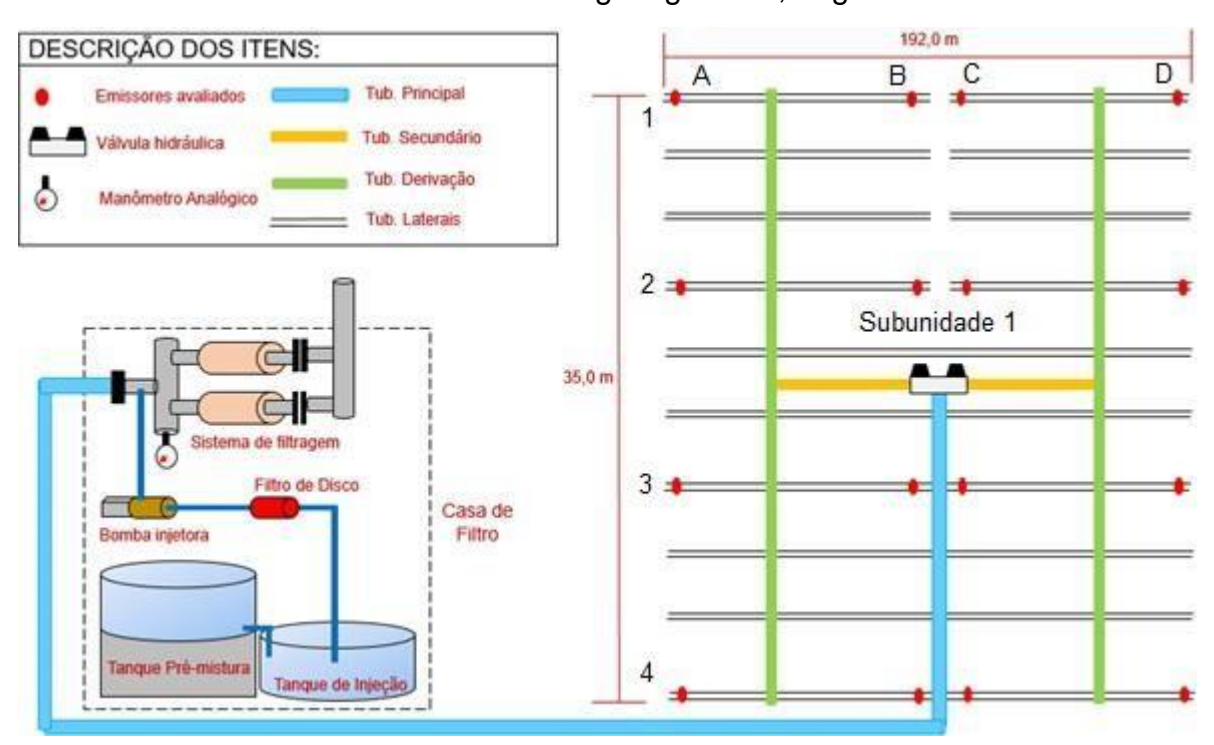


Figura 2. Diagrama simplificado da disposição da área experimental por subunidade. Nota: No lado direito da figura encontram-se ilustradas as linhas laterais (números 1 a 4) e os emissores (letras A a D) avaliados.



Figura 3: A) Coleta de água dos emissores simultâneos na área experimental, por subunidade. B) Pesagem do volume de água coletada.

Após a coleta, os dados foram tabulados para se efetuar os cálculos da vazão, usando-se a equação 1.

$$q = \frac{m}{(d \times t)} \times 60$$
 (Eq. 1)

Em que:

q – Vazão média, L h⁻¹;

m – Massa da água coletada do emissor, g;

t – Tempo de coleta, min;

d – Densidade da água, g cm⁻³.

Determinação da pressão nas linhas laterais:

- Foram realizadas medições de pressão nos finais das linhas laterais, antes e após a aplicação do HYDRODIS.
- As coletas ocorreram nos finais das linhas laterais amostradas no teste de vazão. Utilizou-se um manômetro analógico, da marca AZUD, com graduação de 0 a 6 Bar (Figuras 4A e 4B). Também foi verificado a pressão na saída do sistema de filtragem, no momento em que cada setor estava sendo avaliado.

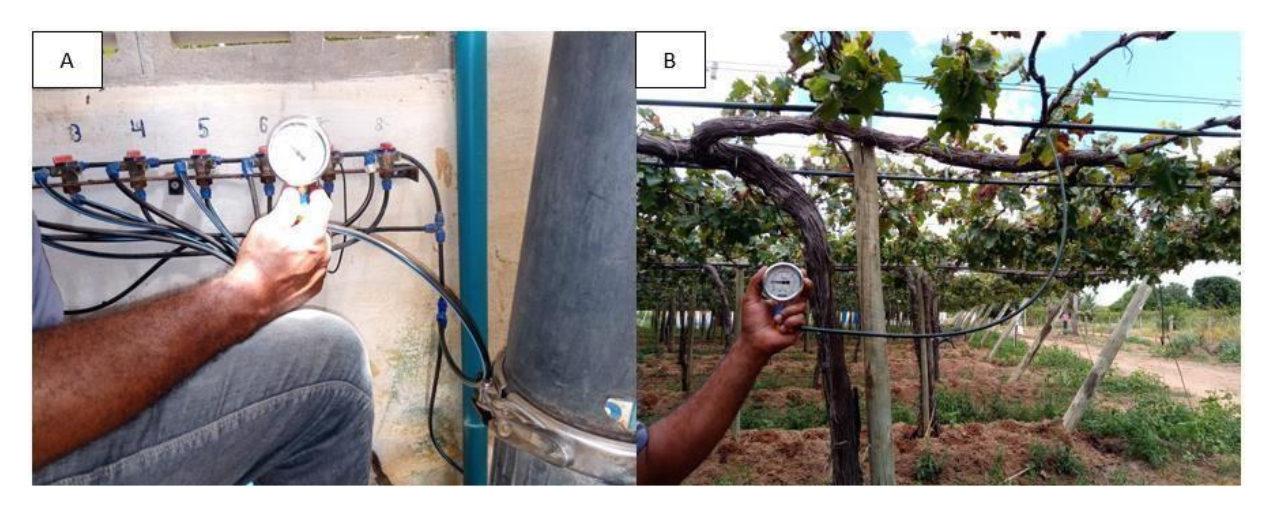


Figura 4: A) Medição de pressão na casa de filtro. B) Medição de pressão nos finais de linhas laterais.

- ♣ Determinação do grau de entupimento nos emissores avaliados, na situação antes e após a aplicação do HYDRODIS.
 - Grau de Entupimento (GE), foi determinado comparando-se as vazões teóricas e observadas como proposto por Suszek et al. (2019), usando-se a equação 2.

GE =
$$[1 - \frac{q}{0}] \cdot 100$$
 (Eq. 2)

Em que:

GE – Grau de entupimento, %;

q – Vazão observada do emissor, L h-1;

Q – Vazão teórica do emissor, L h-1.

Para o emissor testado neste trabalho a vazão teórica foi obtida aplicando-se a seguinte equação característica: Q [L h^{-1}] = 2,3199 × P [Bar]^{0,4781}. Equação esta obtida dos dados da Tabela 4A do anexo. Os valores de pressão obtidos foram somente dos finais de linhas laterais.

Determinação de coeficientes que expressam uniformidade de aplicação de água pelos emissores. Coeficiente de Uniformidade de Christiansen (CUC), como proposta por Christiansen (1942), aplicando os dados na equação 3.

CUC = 100 •
$$(1 - \frac{\sum_{i=1}^{N} |X_i - \bar{X}|}{N \times \bar{X}})$$
 (Eq. 3)

Em que:

CUC – Coeficiente de Uniformidade de Christiansen, %;

Xi – Vazão de cada emissor, L h-1;

X̄ – Vazão média dos emissores, L h⁻¹; e

N - Número de emissores observados.

 Coeficiente de Uniformidade de Distribuição (CUD), como proposta por Merrian e Keller (1978), usando-se a equação 4.

$$CUD = 100 \bullet \frac{\bar{x}}{\bar{\chi}}$$
 (Eq. 4)

Em que:

CUD - Coeficiente de Uniformidade de Distribuição, %;

x̄ – Média dos 25% menores valores de vazão observados, L h⁻¹;

 \bar{X} – Vazão média dos emissores, L h⁻¹.

 Coeficiente de Uniformidade Estatístico (CUE), como proposta por Bernardo e Mantovani (2009), equação 5:

CUE =
$$(1 - \frac{Sd}{\bar{x}}) \times 100$$
 (Eq. 5)

Em que:

CUE – Coeficiente de Uniformidade Estatístico, em %;

Sd – Desvio-padrão dos valores de precipitação, em L h-1;

 \bar{X} – Vazão média dos emissores, L h⁻¹.

- ♣ Determinação da eficiência do sistema de irrigação, na situação antes e após a aplicação do HYDRODIS.
 - Eficiência (Ef), foi determinado pelo produto do CUD por 0,90, como proposto por Vermeiren e Jobling (1997), usando-se a equação 6:

$$Ef = [CUD \cdot 0.90]$$
 (Eq. 6)

Em que:

Ef – Eficiência do sistema de irrigação, decimal;

CUD – Uniformidade de Distribuição, decimal;

Os critérios usados para classificação do sistema de irrigação segundo os coeficientes CUC, CUD e CUE basearam-se na proposta de Santos et al. (2015), conforme descrito na Tabela 6.

Tabela 6: Valores de referência de valores do CUC, CUD e CUE.

Classificação	CUC (%)	CUD (%)	CUE (%)
Excelente	>90	>84	90 – 100
Bom	80 – 90	68 – 84	80 – 90
Razoável	70 – 80	52 – 68	70 – 80
Ruim	60 -70	36 – 52	60 - 70
Inaceitável	<60	<36	<60

Fonte: BRALTS & KESNER (1986); FAVETTA & BOTREL (2001); BERNARDO & MANTOVANI (2009). Em que: CUC – Coeficiente de Christiansen; CUD – Coeficiente de Uniformidade de Distribuição e CUE – Coeficiente de Uniformidade Estatístico.

4.4 ANÁLISE DE VIABILIDADE ECONÔMICA E AMBIENTAL

A viabilidade econômica foi obtida da diferença entre os custos envolvidos com aquisição e aplicação do produto e das cifras evitadas com bombeamentos, consumo de água e de energia elétrica. Com resultados expressos em unidades monetárias e percentuais. Nas estimativas foram adotados os seguintes valores, para o período do ensaio (março e abril de 2022):

 Custo médio do produto HYDRODIS® R\$ 137,50 por litro (equivalente a US\$ 29,07);

- Diária do irrigante R\$ 60,00 (US\$ 12,68) aplicação do produto;
- kWh para o grupo tarifário B2 (ou rural irrigante) R\$ 0,69 (US\$ 0,15);
- Custos com disponibilização e consumo de água no Distrito de Irrigação Senador Nilo Coelho, R\$ 56,37 (US\$ 11,98) para 1.000 m³ de água consumida (custo variável) e R\$ 116,37 (US\$ 24,60) por hectare irrigado (custo fixo) (DINC, 2022).
- Lâmina líquida de irrigação de 700 mm por ciclo, pois, segundo Sousa et al. (2019), a uva de mesa no dipolo Petrolina/Juazeiro apresenta demanda evapotranspirométrica média de, aproximadamente, 696,50 mm por ciclo, com variações que vão de 544 a 902 mm, a depender da data da poda.

Para um hectare, irrigado com a cultura da uva de mesa, estimou-se demanda de 0,10 a 0,20 L (pouco ou muito incrustado) de HYDRODIS, consumo líquido de 7.000 m³ de água por ciclo, 7,36 kWh dia (para potência instalada de 2,50 cv com funcionamento de 4 horas dia⁻¹ – a potência foi obtida para lâmina média de 5 mm, altura manométrica de 30 mca e eficiência do conjunto motobomba de 60%).

O consumo bruto de água foi obtido da razão entre o consumo líquido pela eficiência do sistema de irrigação (eficiência obtida a partir da Equação 6).

A viabilidade ambiental foi definida pela diferença dos consumos de água e energia elétrica praticados antes e após aplicação do produto HYDRODIS. Os resultados dessa análise foram expressos em m³ e kWh evitados.

4.5 ANÁLISE ESTATÍSTICA DOS DADOS

Os dados de vazão unitária dos emissores foram submetidos a normalidade de resíduos pelo método de Shapiro-Wilk e teste de homocedasticidade de Bartlett. No caso de significância estatística as médias foram classificadas segundo teste de Tukey a 5% de probabilidade, a partir do programa computacional R versão 4.1.3 (R, 1991), associado ao pacote estatístico ExpDes.pt (FERREIRA, CAVALCANTI, NOGUEIRA, 2020).

Para os cálculos de q, GE, CUC, CUE, CUD e geração de gráficos foi utilizado EXCEL® da Microsoft.

5 RESULTADOS E DISCUSSÃO

As vazões dos emissores variaram de 2,16 a 3,54 L h⁻¹ quando foram avaliados antes da aplicação do produto HYDRODIS, notando-se, após a aplicação, vazões entre 2,96 e 4,01 L h⁻¹, observando-se uma variação 24% menor após a aplicação, com incrementos de vazão de até 48%, Tabela 7. O resumo das vazões de forma gráfica encontra-se na Figura 2A do apêndice.

Tabela 7: Vazão média de emissores (L h⁻¹) nas subunidades de irrigação (Sub) analisadas antes e após aplicação do produto HYDRODRIS.

Posição das					Posição o	dos emisso	ores na linl	na lateral				
lin. laterais		Ponto A	Ponto A Ponto B Ponto				Ponto C			Ponto D		
	Sub 1	Sub 2	Sub 3	Sub 1	Sub 2	Sub 3	Sub 1	Sub 2	Sub 3	Sub 1	Sub 2	Sub 3
		Antes da aplicação do HYDRODIS										
1	2,99	2,16	2,93	3,05	2,69	2,78	2,82	2,49	2,61	2,52	2,75	2,70
2	3,21	2,84	2,96	3,36	3,17	3,39	3,02	2,76	2,73	2,84	3,05	2,81
3	3,09	2,57	2,81	3,03	2,96	3,54	2,91	2,39	2,82	2,96	2,91	2,94
4	3,18	2,93	2,97	3,09	2,87	2,64	2,70	2,49	2,69	2,34	2,94	2,93
Média	3,12	2,62	2,91	3,13	2,92	3,09	2,86	2,53	2,71	2,66	2,91	2,84
					Depois of	da aplicaçã	ão do HYD	RODIS				
1	3,42	3,69	3,48	3,29	3,45	3,45	3,81	3,71	3,21	4,01	3,68	3,32
2	3,53	3,45	3,60	3,81	3,39	3,65	3,47	3,66	3,30	3,50	3,80	3,59
3	3,74	3,60	3,75	3,96	3,78	3,48	3,38	3,95	3,20	3,89	3,57	3,69
4	2,96	3,35	3,56	3,66	3,62	3,87	3,12	3,68	3,39	3,51	3,92	3,47
Média	3,41	3,52	3,60	3,68	3,56	3,61	3,44	3,75	3,27	3,72	3,74	3,51
			Increme	nto médio	nas vazõe	s dos emis	ssores apó	s aplicaçã	o do HYDI	RODIS		
(L h ⁻¹)	0,29	0,90	0,68	0,55	0,64	0,53	0,58	1,22	0,56	1,06	0,83	0,67
(%)	9,39	34,3	23,4	17,5	21,9	17,0	20,3	48,0	20,8	39,9	28,5	23,6
		CI	assificaçã	io de médi	as pelo tes	ste de Tuke	ey a 5% de	Probabili	dade			
	Sub 1				Sub 2				Sub 3			
Antes	s 2,94 b				2,75 b				2,89 b			
Após	s 3,56 a				3,64 a				3,50 a			

Nota: Os emissores (1 a 4) e os pontos (A a D) estão organizados conforme Figura 1 do item anterior. As médias seguidas das mesmas letras não diferem entre si pelo teste de Tukey a 5% de probabilidade.

O incremento de vazão média, como efeito positivo do produto HYDRODIS, pode ser explicado pela ação de deslocamento de crostas residuais de fertilizantes incrustadas no labirinto cascate que reduzem a passagem de água (CARVALHO et al., 2015). Dentre as causas que geraram este comportamento pós aplicação do produto HYDRODIS, está o grau de entupimento (GE), uma vez que antes da

25,00 20,00 ANTES DO HYDRODIS APÓS O HYDRODIS 15,00 Grau de Entupimento (%) 10,00 Subunidade 1 5,00 Subunidade 2 Subunidade 3 0,00 Subunidade 1 Subunidade 2 Subunidade 3 -2,84 -0,37 -5,00 -10,00 -15,00

aplicação, os valores de GE variaram de 9,87 a 23,81%, enquanto que, após aplicação do produto HYDRODIS, a variação foi de 5,82 a -9,48% (Figura 5).

Figura 5. Grau de entupimento dos emissores localizados nos finais de mangueiras (linhas laterais) antes e após aplicação do HYDRODIS.

SUBUNIDADES AVALIADAS

Os valores de grau de entupimento negativos encontrados após o uso do produto HYDRODIS, ocorreram quando a vazão observada superou a vazão teórica do emissor, esse comportamento pode estar associado ao desgaste do bocal do emissor por danos provocados por ação de partículas sólidas contidas na água de irrigação, como areia, assim como o uso constante de ácido fortes, que podem potencializar o desgaste e por último desgaste na manutenção periódica do sistema, devido impactos mecânicos do irrigante. As comparações por interpolação da vazões observadas e teóricas podem ser apreciadas na Figuras 3A, 4A, 5A nos apêndices.

Outro fato que poderia explicar o aumento das vazões dos emissores seria o aumento de pressão nas tubulações laterais no momento das avaliações (Tabela 8). Porém, a variação de pressão observada não justifica o aumento de vazão dos emissores, pois, o aumento da vazão teórica nos emissores não excede 0,22 L h⁻¹ quando as pressões se elevam em 0,30 bar (aproximadamente 3,00 mca) a partir de 2,00 bar de pressão no emissor, ou seja, os incrementos de vazão gerados pelo aumento de pressão só gerariam no máximo 0,22 L h⁻¹ de vazão, enquanto observouse aumentos de até 1,22 L h⁻¹ (Tabela 5), ou seja, se a pressão for aumentada de 2,00 e 2,30 bar, as vazões dos emissores, conforme curva do emissor, vai variar de 3,31

para 3,45 L h⁻¹, esta argumentação foi feita considerando os valores de vazões e pressões registrados nas subunidades, e que podem ser consultados nas Figuras 14A, 15A, 16A, 17A, 18A e 19A dos apêndices.

Tabela 8: Registros das pressões observadas (em Bar) nos finais das linhas laterais nas subunidades de irrigação (Sub) investigadas antes e após aplicação do produto HYDRODRIS.

		Pon	tos amosti	ados (núr	neros corr	espondem	as linhas	laterais e l	etras aos emi	ssores)	
	A1	A2	АЗ	A4	D1	D2	D3	D4	Mínimo	Máximo	Δ (bar)
	Antes da aplicação do produto HYDRODIS										
Sub 1	2,25	2,35	2,40	2,45	2,25	2,35	2,40	2,45	2,25	2,45	0,25
Sub 2	2,00	2,00	2,00	2,00	2,00	2,00	2,00	2,00	2,00	2,00	0,00
Sub 3	2,10	2,10	2,15	2,30	2,10	2,10	2,15	2,30	2,10	2,30	0,20
	Após aplicação do produto HYDRODIS										
Sub 1	2,50	2,40	2,60	2,70	2,40	2,50	2,60	2,70	2,40	2,70	0,30
Sub 2	2,20	2,10	2,20	2,40	2,20	2,20	2,20	2,40	2,10	2,40	0,30
Sub 3	2,20	2,20	2,30	2,40	2,20	2,30	2,40	2,60	2,20	2,60	0,40

Nota: Δ - representa amplitude de variação.

O desnível predominante na área experimental contribuiu de forma positiva na variação de pressão na linha lateral, pois, conforme pode ser observado na Figura 6, havia desnível de até aproximadamente 2,00 m (0,20 Bar) no sentido das linhas laterais, resultando em um desnível de 1,04% no sentido das linhas laterais.



Figura 6. Desnível máximo nas subunidades de irrigação do ensaio. Imagem obtida do Google Earth (2021), Petrolina/PE.

Para os valores de Coeficiente de Uniformidade de Christiansen (CUC), não houve diferenças significativas, estatisticamente, entre os tratamentos, como pode ser verificado na Tabela 9, tanto antes quanto após a aplicação do produto de limpeza. Os coeficientes de uniformidade encontrados de todos as subunidades foram categorizados como excelentes para sistemas localizados. O mesmo se aplica para os demais coeficientes.

Tabela 9: Valores e classificação dos para os diferentes tipos de coeficientes de uniformidade para sistema de irrigação.

Subunidade	CUC (%)	CLASSIFICAÇÃO	CUC (%)	CLASSIFICAÇAO
	Antes	•	Depois	
1	93,49	Excelente	93,26	Excelente
2	92,28	Excelente	96,33	Excelente
3	93,83	Excelente	95,70	Excelente
Média	93,20	Excelente	95,10	Excelente
Subunidade	COD (%)	CLASSIFICAÇAO	CUD (%)	CLASSIFICAÇAO
Cabanidado	Antes	0 <u>1</u> (00) 10/ (q/ (0	Depois	02/100/110/19/10
1	88,18	Excelente	89,34	Excelente
2	86,75	Excelente	93,61	Excelente
3	92,05	Excelente	93,03	Excelente
Média	88,99	Excelente	92,00	Excelente
Subunidade	CUE (%)	CLASSIFICAÇAO	CUE (%)	CLASSIFICAÇAO
	Antes	•	Depois	,
1	91,23	Excelente	91,63	Excelente
2	90,28	Excelente	95,24	Excelente
3	91,22	Excelente	94,55	Excelente
Média	90,91	Excelente	93,81	Excelente

Em que: CUC - Coeficiente de Uniformidade de Christiansen, CUD - Coeficiente de Uniformidade de Distribuição e CUE - Coeficiente de Uniformidade Estatístico.

Como pode ser observado na Tabela 9 os valores de CUC, CUD e CUE ficaram muito próximos, independentes dos tratamentos. Contudo, pôde-se notar que mesmo com pequena melhoria nos coeficientes de uniformidade do sistema de irrigação, o produto HYDRODIS elevou consideravelmente a vazão dos emissores (Tabela 7) e isso representa uma redução no tempo de irrigação na área.

Com relação ao manejo anteriormente realizado na fazenda, quando se compara a aplicação periódica de ácido fosfórico com a, aplicação do produto HYDRODIS, pode-se inferir que o emprego indiscriminado de ácidos pode gerar desequilíbrio nutricional do solo por rebaixamento do pH do solo. Já para o

HYDRODIS, segundo a fabricante, não há tendência de variação de pH do solo, pois o produto não tem base ácida na sua constituição.

Neste sentido, nota-se inúmeros trabalhos científicos sobre a utilização do método químico para prevenção e limpeza de sistema de irrigação localizado, por emprego de ácidos nítricos, clorídricos, ácido fosfóricos, acéticos, peracéticos e peróxido de hidrogênio (JAMES, 1988; NAKAYAMA & BUCKS, 1986), ou de soluções cloradas (BUSATO et al., 2012), contudo, há poucos relatos dos efeitos destes produtos no solo. Quando se sabe os danos causados pelo excesso do cloro e pela redução severa do pH do solo.

A melhoria obtida das vazões médias dos emissores e o aumento de uniformidade, podem ser explicadas pela composição química do produto HYDRODIS, que possui matéria orgânica, fracionados possivelmente em ácidos fúlvicos e húmicos, inserida na sua formulação. Os efeitos dos ácidos húmicos e/ou fúlvicos nas propriedades física e químicas da água e do solo são bem conhecidos na literatura cientifica, com estas substâncias desempenhando a função de quelantes, ou seja, conseguem complexar íons, em especial íons metálicos de forma eletrostática, devido a sua estrutura ligante encontrados nos SHs (ácidos húmicos e fulvicos), que, após a ligação, podem promover a precipitação do complexado formado, esse efeito foi proposto por Beth e Van Vleck, conhecido de teoria do campo cristalino.

O fator determinante na atuação mais efetiva dos SHs é o pH baixo, já que influencia nas interações entre os ácidos orgânicos, os íons metálicos e os materiais de natureza eletroquímica, ao solubilizar os mesmos, e isso vem ao encontrado do princípio da composição do HYDRODIS, que por ser a base de fonte nitrogenada, pode ser constituído de um ácido forte, como o ácido nítrico (concentração de 54%), todavia esta informação não está clara na bula do fabricante do produto. O que pode ser uma contradição quanto ao efeito neutro do produto na variação do pH do solo. Esta avaliação, porém, não foi realizada na pesquisa em questão.

De modo geral, o produto HYDRODIS atuou em duas etapas durante a limpeza do sistema de irrigação, numa primeira fase o produto acidificou a água contida nas tubulações e reagiu com as incrustações de natureza física, química e biológica das paredes das tubulações e, especialmente, do labirinto do emissor, fato este corroborado pelo elevado grau de incrustação do mesmo, deslocando, assim, os matérias incrustados nas paredes dos tubos e dos emissores, a segunda fase pode ter sido promovida pelos ácidos orgânicos do produto (em especial o ácido fúlvico)

que possui uma capacidade de troca catiônica elevada, superior a 1.400 cmol_c kg⁻¹, que devido apresentar uma elevada polaridade e baixo peso molecular, pode ter desempenhado papel de complexar os metais polivalentes, formando complexos estáveis com o Ferro (Fe), Cobre (Cu), Cálcio (Ca) e Magnésio (Mg) por exemplo, além de ter sido responsável por combinar-se com argilas e compostos de natureza orgânica, liberados na acidificação da água, e aprisionando estes matérias pelo efeito quelatizador dos ácido orgânicos, originando precipitados que foram eliminados nas irrigações subsequentes (NAKAYAMA & BUCKS 1989).

Houve uma melhoria no fluxo de água no interior das tubulações e especialmente, nos labirintos dos emissores, havendo um aumentado de 24,82% das vazões médias dos emissores (Tabela 7), este valor aproximar-se muito do ganho de fluxo de água prometido pelo fabricante do produto, que seria de 30%.

Ao analisar o custo/benefício do uso do produto HYDRODIS para a área de 1,00 hectare de cultivo de uva de mesa irrigada no cenário de Petrolina/PE, adotandose os valores de vazões de emissores e eficiência do sistema de irrigação obtidos neste trabalho, constatou-se que apenas uma aplicação do produto HYDRODIS, com custo por aplicação de R\$ 27,50 (1/5 do valor de um litro do produto), aumentou a eficiência de uniformidade do sistema em 3 pontos percentuais para o CUD (Tabela 9) e em 0,71 L h⁻¹ na vazão média dos emissores (Tabela 7). Neste contexto, durante o intervalo de um mês de operação do sistema de irrigação, poder-se-á ter uma economia de R\$ 10,97 para a taxa de água cobrada, que, ao ser multiplicada por 12 meses, totalizaria uma economia anual de 131,64 reais, valor este praticamente equivalente ao custo valor total do litro do produto, que atualmente encontrasse na ordem de 137,50 reais. Na Tabela 10 encontram-se toda a análise do custo/benefício do uso do produto HYDRODIS.

O uso de produtos com a finalidade de limpeza do sistema de irrigação é feito, normalmente, em intervalos específicos durante o ciclo produtivo da videira, que notadamente na fase fenológica de repouso, que dura entre 30 e 45 dias para as condições de Petrolina/PE, havendo, assim, no mínimo três aplicações e no máximo seis aplicações ao ano, fato este que embasa a sustentabilidade técnica e financeira para o uso do produto HYDRODIS.

Todavia o resultado mais significativo foi na economia de energia elétrica consumida em kWh durante um mês, para um hectare de uva de mesa irrigada, havendo uma economia média de R\$ 77,70 por mês, valor este que já amortiza o

custo por aplicação do produto HYDRODIS que foi de R\$ 27,50, considerando a maior dose aplicada de 200 mL ha⁻¹. E se extrapolado a economia de energia elétrica no bombeamento durante um ano, o valor chegar a R\$ 932,40 por hectare.

Tabela 10: Simulação para 1,00 hectare de uva de mesa irrigada em Petrolina/PE, referentes aos custos com e sem o produto HYDRODIS em termos consumo de água, energia elétrica e tempo de funcionamento do sistema de irrigação.

		Para te	empo de funcio	namento do sis	stema de irriga	ção		
	ETo ¹	Kc ²	Εf³	LLI ⁴	LLB⁵	a _e	Q ⁷	Tempo ⁸
Situação	médio	médio	médio	médio	médio	Emissor	Sub.	Funci.
	(mm dia ⁻¹)	adm	(%)	(mm d ⁻¹)	(mm d ⁻¹)	(L h ⁻¹)	(m³ h-1)	(h d ⁻¹)
Sem	7,00	0,84	0,80	5,88	7,35	2,86	32,67	2,25
Com	7,00	0,84	0,83	5,88	7,08	3,57	40,78	1,74
			Para demai	nda hídrica en	ergética			
	Demanda	Demanda	Demanda					
	Hídrica	Hídrica	Energia					
Sem	73,50	2.205,00	496,80					
Com	70,80	2.124,00	384,19					
	D	austos som sor				ALA LIVERO	NC	

	Para custos com consumo de água, energia elétrica e com o produto HYDRODIS									
	Custo mans	oduto (L) ¹³	Custo por	Aplicação ¹⁴						
	Custo mensal da água ¹¹			gia ¹²	Custo do pi	oddio (L)	Ousto poi Aplicação			
Sem	381,47 R\$	79,38 US\$	342,79 R\$	74,52 US\$	R\$	US\$	R\$	US\$ ¹³		
Com	367,45 R\$	76,46 US\$	265,09 R\$	57,63 US\$	137,50 R\$	28,99 US\$	27,50 R\$	5,80 US\$		
Diferença	14,02 R\$	2,92 US\$	- 77,70 R\$	16,89 US\$	137,50 R\$	28,99 US\$	27,50 R\$	5,80 US\$		

- (1) Evapotranspiração de referência média oriunda da normal climatológica de 1991 a 2020 (SOUSA et al., 2019).
- (2) Coeficiente de cultura para a uva de mesa irrigada (SOARES & COSTA, 2000).
- (3) Eficiência de uniformidade média para cada subunidade avaliada (FONTE: do Autor).
- (4) Lâmina líquida média calculada (FONTE: do Autor).
- (5) Lâmina bruta média calculada (FONTE: do Autor).
- (6) Vazão média dos emissores de acordo com cada situação (FONTE: do Autor).
- (7) Vazão média por subunidade avaliada para cada situação (FONTE: do Autor).
- (8) Tempo de funcionamento necessário do sistema de irrigação para cada situação (Fonte: o Autor).
- (9) Tarifa cobrada por m³ de água consumida para irrigação pelo DINC (FONTE: DINC,2022).
- (10) Tarifa cobrada por kWh de energia consumida no grupo B2 para irrigantes, disposto no Anexo 14 (Fonte: Neoenergia, 2022).
- (11) Custo mensal cobrado e calculado por consumo de água por m³ no DINC (FONTE: o Autor).
- (12) Custo mensal cobrado e calculado por consumo de energia (kWh) por hora no DINC (Fonte: o Autor).
- (13) Custo do produto HYDRODIS® referente na data de 06/04/2022.
- (14) Custo da dose de 200 mL ha-1 para sistemas velhos ou muito incrustados (RIGRANTEC, 2022).
- (15) Valor do dólar igual a 4,7416 R\$/US\$ referente ao dia 07/04/2022 (Banco Central do Brasil).

Comparado o custo de aplicação do HYDRODIS, com o trabalho feito por Vieira et al. (2004), que avaliaram a utilização de ácidos fortes e o RECICLEAN, na recuperação de gotejadores obstruídos, obtiveram aumento de 26,64% de CUC e um custo por aplicação de 33,61 reais, para valores atualizados, custo este maior em relação aos encontrados neste trabalho.

Outro ganho promovido pelo uso do produto HYDRODIS, foi a melhoria de uniformidade na distribuição de água no sistema de irrigação, que refletiu em uma economia de água aplicada por hectare, de 81,00 m³ mês⁻¹ em média, dado a importância do aspecto ambiental, essa redução pode representar um decremento de 5,18 kg ha⁻¹ de sais solúveis durante o mês e de 62,21 kg ao ano, considerando a condutividade elétrica da água de 0,10 dS m⁻¹, para o cálculo de sais na água de irrigação utilizou-se a equação proposta por Cordeiro (2001), e as informação da condutividade elétrica foi extraída da Figura 14N dos Anexos. Quando extrapolado para um período de 10 anos de cultivo da videira, evitaria o incremento de, aproximadamente, 622 kg de sais por hectare, impacto ambiental relevante em virtude dos solos do semiárido brasileiro terem uma predisposição a salinização pelas suas características físicas e químicas (CORDEIRO, 2001; MARQUES et al., 2014).

Ainda no aspecto de sustentabilidade ambiental o volume de água economizado de 81,00 m³ mês⁻¹ poderia garantir o abastecimento de água para 18 pessoas (considerando consumo diário de 150 L habitante⁻¹).

6 CONCLUSÕES

O uso do HYDRODIS aumenta a vazão unitária dos emissores, e promove melhorias nos coeficientes de uniformidade e distribuição de água pelos emissores;

O emprego do produto HYDRODIS reduz o tempo médio de funcionamento do sistema em 20% e para as lâminas brutas de irrigação em 3%.

7 REFERÊNCIAS

AGROQUIM. **AGROQUIM POWERING A NEW AGRICULTARE**. Disponível em: https://agroquim.com.br/quem-somos/> Acesso em: 18 Jan. 2022.

ALMEIDA, O. A. de. **Entupimento de emissores localizada**. Embrapa mandioca e fruticultura, Cruz das Almas/BA, 2009, ISSN 1809-49996; 182). 2009, 11 e 51p.

ALVARENGA, L. A.; MARTINS, M. P. P.; CUARTAS, L. A.; PENTEADO, V. A.; ANDRADE, A. Estudo da qualidade e quantidade da água em microbacia, afluente do rio Paraíba do Sul – São Paulo, após ações de preservação ambiental. **Revista Ambiente & Água**, v. 7, n. 3, p. 228-240, 2012. http://dx.doi.org/10.4136/ambiagua.987.

ALVARENGA, M. A. R. **Tomate produção em campo, em casa de vegetação e em hidroponia.** Lavras: UFLA, 2004. 400p.

AUTOCAD. Computer Aided Draft and Design. AutoDesk Inc. Versão 2013. 2013.

AYERS, R. S.; WESTCOT, D.W. **A qualidade da água na agricultura.** Campina Grande: UFPB, Paraíba, 1^a ed., 1991. 218p.

AZEVEDO, P. V.; SILVA, B. B.; SILVA, V. P. R. Walter requirements of irrigated mango orchards in Northeast Brazil. **Agricultural Water Management 58**: 2003. 241-245p.

BCB. Banco Central do Brasil. Disponível em: https://www.bcb.gov.br/?bc. Acesso em 08 de Abr de 2022.

BASSO, L. H.; BRAGA, M. B.; CALGARO, M.; SIMÕES, W. L.; PINTO, J. M. **Cultivo da videira**. Sistemas de produção 1-2. ed. Versão eletrônica: Embrapa Semiárido. 2010.

BERNARDO, S.; SOARES, A. A.; MANTOVANI, E. C. **Manual de irrigação**. 8. ed. Viçosa: UFV. 2006, 625p.

BORSSOI, A.L.; BOAS, M.A.V.; REISDÖRFER, M.; HERNÁNDEZ, R.H.; FOLLADOR, F.A.C. Water application uniformity and fertigation in a dripping irrigation set. **Engenharia Agrícola**, v.32, p.718-726, 2012. https://DOI: 10.1590/S0100-69162012000400011.

BRAUER, R. L; CRUZ, R. L; VILLAS BOAS, R. L.; PLETSCH, T. A. Avaliação da uniformidade de aplicação de água em gotejadores em funcao do teor de ferro. **Irriga**, Botucatu, v. 16, n. 1, p. 21-30, 2011.

BRALTS, V.F.; KESNER, C.D. **Drip irrigation field uniformity estimation**. Transactions of the ASAE, v.26, p.1369-1374, 1986.

BRITO, L. T. de L.; SILVA, A. de S.; PORTO, E. R.; AMORIM, M. C. C. de; LEITE, W. de M. Potencialidades da água de chuva no Semiárido brasileiro. EMBRAPA SEMIÁRIDO. Petrolina, PE, p. 84-85, 2007. Disponível em: https://ainfo.cnptia.embrapa.br/digital/bitstream/item/142156/1/Brito.-Livro-agua-chuva.pdf. Acesso em 19 Abr 2022.

BUSATO, C. C. M.; SOARES, A. A.; RAMOS, M. M.; REIS, E. F.; BUSATO, C. Dicloroisocianurato na prevenção do entupimento devido ao uso de águas ferruginosas em sistemas de irrigação por gotejamento. **Revista Semina**: Ciências Agrárias, Londrina, v. 33, n. 1, p. 49-56, 2012. https://DOI: 10.5433/1679-0359.2012v33n1p49.

CAMARGO, A. P.; SENTELHAS, P. C. Avaliação do desempenho de diferentes métodos de estimativa da evapotranspiração potencial no Estado de São Paulo, Brasil. **Revista Brasileira de Agrometeorologia**, Santa Maria, v. 5, n. 1, p. 89-97, 1997.

CAPRA, A.; SCICOLONE, B. Water quality and distribution uniformity in drip/trickle irrigation systems. **Journal of Agricultural Engineering Research**, v. 70, p. 355- 365, 1998.

CARVALHO, L. C.C.; COELHO, R. D.; TEIXEIRA, M.B.; SOARES, F. A. L.; CUNHA, F. N.; SILVA, N. F. TUBOS GOTEJADORES CONVENCIONAIS SUBMETIDOS A APLICAÇÃO DE ÓXIDO DE FERRO VIA ÁGUA COM CARGA ORGÂNICA E SÓLIDOS SUSPENSOS. **Revista Brasileira de Agricultura Irrigada**. v.9, nº.2, p. 32 - 41, 2015.

CHRISTIANSEN, J. E. **Irrigation by sprinkling. Berkely**: Universit of California, 1942.124p.

CORDEIRO, G. G. Qualidade de água para fins de irrigação (Conceitos básicos e práticas). Empresa Brasileira de Pesquisa Agropecuária, Embrapa Semiárido, documentos 167, ISSN 1516-1633, Petrolina, PE, 2001, p. 26-30. Disponível em: <a href="https://www.embrapa.br/busca-de-publicacoes/-/publicacao/151757/qualidade-de-agua-para-fins-de-irrigacao-conceitosbasicos-epraticos#:~:text=Resumo%3A%20Toda%20%C3%A1gua%20usada%20na,e20provavelmente%20da%20agricultura%20irrigada. Acesso em 19 Abr 2022.

CUNHA, F. N.; OLIVEIRA, R. C.; SILVA, N. F.; MOURA, L. M. F.; TEIXEIRA, M. B.; GOMES FILHO, R. R. Variabilidade temporal da uniformidade de distribuição em sistema de gotejamento. **Revista Brasileira de Agricultura Irrigada**, v.7, n. 4, p. 248 - 257, 2013.

DINC. **Distrito de Irrigação Senador Nilo Coelho**, Petrolina/PE. Disponível em: https://www.dinc.org.br/servicos-prestados-2/analise-da-agua/. Acesso em 04 de Abr de 2022.

DEUS, A. C. F.; COSTA, C. D. O.; FORATTO, L. C.; FERNANDES, D. M.; CARRIBEIRO, L. S. Alface americana fertirrigada com diferentes doses de acido fosforico e hidroxido de potassio. **Irriga**, Botucatu, v. 16, n. 2, p. 125-133, 2011.

DIAS, K. G. de L.; REIS, T. H. P.; NOGUEIRA, F. D.; LASMAR, M. J.; OLIVEIRA, C. H. C. de GUIMARÃES, P. T. G. Utilização de Biotech para prevenção do entupimento de gotejadores. **Revista Agroambiental** - Dezembro/2011. 2011.

FAVETTA, G. M.; BOTREL, T. A. Uniformidade de sistemas de irrigação localizada: validação de equações. **Scientific Agricola**. 2001, 58, 427-430.

FERREIRA, E. B.; CAVALCANTI, P. P.; NOGUEIRA, D. A. Type Package, Title Pacote Experimental Designs (Portugues), Version 1.2.1. Date 2020-12-14, Maintainer Eric Batista Ferreira <eric.ferreiraunifal-mg.edu.br> Depends R (>= 4.0) License GPL (>= 2) NeedsCompilation no Repository CRAN Date/Publication 2021-01-06 15:40:06 UTC.

FIGUEIREDO, F. C. Uso de ácido cítrico e complexo enzimático na prevenção de obstrução de vazão em simulação de fertirrigação In: FERTBIO, Lages, 2004. Anais. Lages: UDESC/SBCS, 2004. (cdrom).

FOLEGATTI, M.V. **Fertirrigação:** citrus, flores e hortaliças. Guaíba: Livraria e Editora Agropecuária Ltda., 1999, 460p.

GILBERT, R.G.; NAKAYAMA, F.S.; BUCKS, D.A. Trickle irrigation: prevention of clogging. **Transactions of the ASAE**, v.22, n.03, p.514-519, 1979.

GILBERT, R.G.; FORD, H.W. Operational principles/emitter clogging. In: NAKAYAMA, F.S.; BULKS, D.A. Trickle irrigation for crop production. Amsterdam: Elsevier, 1986. cap.3. p.142-163.

GOMES, H. P. Engenharia de Irrigação: Hidráulica dos Sistemas Pressurizados Aspersão e Gotejamento. 3ª Edição. UFCG Campina Grande/PB, 422 p.

HART, W. E. **Overhead irrigation pattern parameters**. Transactions of the ASAE, Saint Joseph, 1961, 42, 7, 354-355.

HOPKINS, W. G. **Correlation coefficient: a new view of statistics**. 2000. Disponível em: http://www.sportsci.org/resource/stats/correl.html>. Acesso em: 01 abr. 2022.

HUE, N.V.; GRANDDOCK, G.R. and ADAMS, F. Effect of organic acids on aluminium toxicity in subsoils. **Soil Science Society American Journal**, 1986.

INMET. Instituto Nacional de Meteorologia. Disponível em: https://portal.inmet.gov.br/dadoshistoricos Acesso em 04 de Abr de 2022.

JAYARAMA, SHNAKAR, B.N.; VIOLET, M.D.S. Citric acid as a potential phosphate solubiliser in coffee soils. **Indian Coffee**, p. 1315, 1998.

LIMA, J. O. G. de; LOPES, F. das C. da C.; LIMA, J. R. Hidroquímica do carbonato e bicarbonato: efeito na qualidade de águas subterrâneas em Crateús, Ceará, Brasil. **Revista Ambiente & Água**, vol. 9 n. 3 Taubaté - Jul. / Sep 2014. p. 541, 2014. https://doi:10.4136//ambi-agua.1405.

LIU G.; MCAVOY G. (2018). How to Reduce Clogging Problems in Fertigation. HS1202. Horticultural Sciences Department, UF/IFAS Extension, Florida.

MANTOVANI, E. C.; BERNARDO, S.; PALARETTI, L. F. Irrigação: princípios e métodos. 3 ed., atualizada e ampliada, Viçosa: Ed. UFV, 2009. 355p.

MANTOVANI, E. C. **AVALIA: Programa de Avaliação da Irrigação por Aspersão e Localizada**. Viçosa, MG: UFV. 2002.

MARQUES, F. A.; NASCIMENTO, A. F. do; FILHO, J. C. de A.; SILVA, A. B. **SOLOS DO NORDESTE.** Empresa Brasileira de Pesquisa Agropecuária /EMBRAPA SOLOS. Recife, PE, 2014. p. 1-16. Disponível em: <a href="https://www.embrapa.br/busca-de-publicacoes/-/publicacoes/-/publicacoes/-/publicacoes/-/publicacoes/-/publicacoes/-/publicacoes/-/publicacoes/-/publicacoes/-/publicacoes/-/publicacoes/-/publicacoes/-/publicacoes/-/publicacoes/-/publicacoes/-/publicacoes/-/publicacoes/-/publicacoes/-/publicacoes/-/publicacoes/-/publicacoes/-/publicacoes/-/publicacoes/-/publicacoes/-/publicacoes/-/publicacoes/-/publicacoes/-/publicacoes/-/publicacoes/-/publicacoes/-/publicacoes/-/publicacoes/-/publicacoes/-/publicacoes/-/publicacoes/-/publicacoes/-/publicacoes/-/publicacoes/-/publicacoes/-/publicacoes/-/publicacoes/-/publicacoes/-/publicacoes/-/publicacoes/-/publicacoes/-/publicacoes/-/publicacoes/-/publicacoes/-/publicacoes/-/publicacoes/-/publicacoes/-/publicacoes/-/publicacoes/-/publicacoes/-/publicacoes/-/publicacoes/-/publicacoes/-/publicacoes/-/publicacoes/-/publicacoes/-/publicacoes/-/publicacoes/-/publicacoes/-/publicacoes/-/publicacoes/-/publicacoes/-/publicacoes/-/publicacoes/-/publicacoes/-/publicacoes/-/publicacoes/-/publicacoes/-/publicacoes/-/publicacoes/-/publicacoes/-/publicacoes/-/publicacoes/-/publicacoes/-/publicacoes/-/publicacoes/-/publicacoes/-/publicacoes/-/publicacoes/-/publicacoes/-/publicacoes/-/publicacoes/-/publicacoes/-/publicacoes/-/publicacoes/-/publicacoes/-/publicacoes/-/publicacoes/-/publicacoes/-/publicacoes/-/publicacoes/-/publicacoes/-/publicacoes/-/publicacoes/-/publicacoes/-/publicacoes/-/publicacoes/-/publicacoes/-/publicacoes/-/publicacoes/-/publicacoes/-/publicacoes/-/publicacoes/-/publicacoes/-/publicacoes/-/publicacoes/-/publicacoes/-/publicacoes/-/publicacoes/-/publicacoes/-/publicacoes/-/publicacoes/-/publicacoes/-/publicacoes/-/publicacoes/-/publicacoes/-/publicacoes/-/publicacoes/-/publicacoes/-/publicacoes/-/publicacoes/-/publicacoes/-/publicacoes/-/publicacoes/-/publicacoes/-/pub

MARTINS, C. C.; SOARES, A. A.; RAMOS, M. M.; REIS, E. F. dos. Aplicação de cloro orgânico no tratamento de tubogotejador utilizado na irrigação com água ferruginosa. **Acta Scientiarum**. Agronomy Maringá, v. 32, n. 1, p. 1-5, 2010. https://DOI: 10.4025/actasciagron.v32i1.1589.

MEDEIROS, P.R.F.; COELHO, R.D.; BARROS, A.C.; MELO, R.F. Dinâmica do entupimento de gotejadores em função da aplicação de carbonato de potássio. **Irriga**, Botucatu, v.13, n.2, p.288- 297, 2008.

MELO, R. F.; COELHO, R. D.; TEIXEIRA, M. B. Entupimento de gotejadores convencionais por precipitados quimicos de carbonato de calcio e magnesio, com quatro indices de saturacao de langelier. **Irriga**, Botucatu, v. 13, n. 4, p. 525-539, 2008.

MERRIAN, J. L.; KELLER, J. Farm irrigation system evaluation: a guide for management. Logan; Utah State University, 1978, 271p.

MORAIS, E. R. C.; EGREJA FILHO, F. B.; MAIA, C. E. Método computacional para correção da alcalinidade de águas para fertirrigação. **Revista Brasileira de Ciências do Solo**, v.23, p. 415-423, 1999.

MOURA, R. da S.; HERNANDEZ, F. B. T.; LEITE, M. A.; FRANCO, R. Qualidade da água para uso em irrigação na microbacia do Córrego do Cinturão Verde, município de Ilha Solteira/SP. **Revista Brasileira de Agricultura Irrigada**, Fortaleza, v. 5, n. 1, p. 8-74, 2011.

NAANDANJAIN. **A JAIN IRRIGATION COMPANY**. Disponível em: https://naandanjain.com.br/ Acesso em: 18 Jan. 2022.

NASCIMENTO, R. C.; MEDEIROS, P. R. F. DE; SANTOS, G. S.; TELES, E. C. P. V. DE A.; GONÇALVES, D. R.; MARTINS, A. P. F. DINÂMICA DA OBSTRUÇÃO DE EMISSORES USADOS NA CULTURA DA UVA UTILIZANDO ÁGUA SALINA DE POÇO SUBTERRANEO. **Irriga**, Botucatu, v. 21, n. 3, 491 ISSN 1808-3765. julho - setembro, 2016, p. 491-502.

NAKAYAMA, F. S.; BUCKS, D.A. **Trickle irrigation of crop: production design, operation and management**. Amsterdam: Elsevier, 1986. 383 p.

NETAFIM. Drip irrigation system maintenance handbook, 2014.

NEOENERGIA. Empresa do setor de energia elétrica Neoenergia Pernambuco. Disponível em: https://servicos.neoenergiapernambuco.com.br/pages/index.aspx Acesso em 11 Abr 2022.

NOVAES, R. F.;SMYTH, T. J. **Fósforo em solo e planta em condições tropicais**. UFV, Viçosa, 399p, 1999.

OLIVEIRA I. (2011). **Técnicas de Regadio**. 2ª edição. Ed. Isaurindo Oliveira, Beja, 830 pp.

PEREIRA L. S. **Necessidades de água e métodos de rega**. Ed. Europa-América, Lisboa, 2004. 312 p.

PIZARRO, F. **Riegos localizados de alta frequência**. 3.ed. Madrid: Mundi Prensa, 1996. 513 p.

RAIN BIRD **Law volume irrigation system maintenance**: Manual 5/90. Califórnia, 1990. 48p.

RAVINA, I.; Paz, E.; SOFER, Z.; MARCU, A.; SHISHA, A.; SAGI, G. Control of emitter clogging in drip irrigation with reclaimed wastewater. **Irrigation Science**, New York, v.13, p.129-139. 1992.

RESENDE, R.S. Suscetibilidade de gotejadores ao entupimento de causa biológica e avaliação do desentupimento via cloração da água de irrigação. Dissertação (Mestrado) – Escola Superior de Agricultura "Luiz de Queiroz", Universidade de São Paulo. Piracicaba/SP, 1999. 77p.

RESENDE, R. S.; COELHO, R. D.; PIEDADE, S. M. S. Eficiência da cloração da água de irrigação no tratamento de gotejadores com entupimento de causa biológica. **Revista Brasileira de Engenharia Agrícola e Ambiental**, v. 4, n. 3, p. 382-389, 2000.

RESENDE, R.S.; CASARINI, E.; FOLEGATTI, M.V.; COELHO, R.D. Ocorrência de entupimento de origem biológica em sistema de irrigação por gotejamento. **Revista**

Brasileira de Engenharia Agrícola e Ambiental, Campina Grande, v.5, p.156-160, 2001.

RIGRANTEC. Disponível em: https://www.rigrantec.com.br/produto/hydrodis-ferticlean-1302-fertilizante-com-acao-desincrustante-de-sistemas-tubulares/46> Acesso em: 06 Jan. 2022.

RIBEIRO, P. A. A.; COELHO, R. D.; TEIXEIRA, M. B. Entupimento de tubos gotejadores convencionais com aplicacao de cloreto de potassio (branco e vermelho) via duas qualidades de água. Engenharia Agricola, Jaboticabal, v. 30, n. 2, p. 279-287, 2010.

RIBEIRO, T. A. P.; PATERNIANI, J. E. S.; COLETTI, C. Chemical treatment to unclogg dripper irrigation systems due to biological problems. **Scientia Agricola**, Piracicaba, v. 65, n. 1, p. 1-9, 2008.

RIBEIRO, T. A. P.; AIROLDI, R. P. S.; PATERNIANI, J. E. S.; SILVA, M. J. M. Variação dos parâmetros físicos, químicos e biológicos da água em um sistema de irrigação localizada. **Revista Brasileira de Engenharia Agrícola e Ambiental**, v. 9, p. 295-301, 2005.

RICHARDS, L. A. (1954). **Diagnosis and improvement of saline and alkali solis**. Washington: United States Salinity Laboratory. (USDA: Agriculture Handbook, 60).

SALGUEIRO J.; PAULO A. **EFICÁCIA DE DIFERENTES PRODUTOS NO DESENTUPIMENTO DOS GOTEJADORES NUM SISTEMA DE REGA GOTA-A-GOTA.** Revista da UIIPS — Unidade de Investigação do Instituto Politécnico de Santarém, Vol. VI, N. º 3, ISSN: 2182-9608, 2018, pp. 3-13.

SANTOS, G. O.; HERNANDEZ, F. B. T. Uso do solo e monitoramento dos recursos hídricos no córrego do Ipê, Ilha Solteira, SP. **Revista Brasileira de Engenharia Agrícola e Ambiental**, Campina Grande, v. 17, n. 1, p. 60-68, 2013.

SANTOS, M. A. L. dos; SANTOS, D. P. dos; SILVA, D. S.; SILVA, M. dos S.; CAVALCANTE, P. H. S. Avaliação da uniformidade de distribuição de um sistema de irrigação por gotejamento em Inhame (*Dioscorea cayennensis* Lam.). **Revista Ciência Agrícola**, Rio Largo, v. 13, n. 1, p. 7-13, 2015.

SILVA, A. de S. PORTO, E. R.; LIMA, L. T.; GOMES, P. C. F. Cisternas Rurais: captação e conservação de água de chuva para consumo humano, dimensionamento, construção e manejo. Petrolina, PE: EMBRAPACPATSA: SUDENE, 1984. (EMBRAPA-CPATSA. Circular Técnica, 12).

SOARES, J. M.; COSTA, F. F. Irrigação da cultura da videira. In: LEÃO, P. C. S., SOARES, J. M. A viticultura no semi-árido brasileiro. Petrolina: Embrapa Semi-árido, 2000. 368p.

SOUSA, J. S. C. Adaptações de modelos matemáticos para dimensionamento hidráulico em sistemas de irrigação pressurizada. Campina Grande, UFCG, PB. 2012. 127p. (Tese de doutorado em Engenharia Agrícola).

SOUSA, J. S. C. DE; LEITE, F. DE P. N.; LOPES, B.; MIRANDA, I. S. DE; RODRIGUES, E. G. Demanda evapotranspirométrica da videira "Itália" para diferentes épocas de poda em Petrolina/PE. **Anais XXVI Congresso Brasileiro de Fruticultura.** Anais do XXVI Congresso Brasileiro de Fruticultura de precisão: desafios e oportunidades (26.: 30 de Setembro a 04 d Outubro de 2019; Juazeiro, BA / Petrolina PE). ISBN 978-65-81127-00-8. 2019. p2053-2056. Disponível em: www.fruticultura.org. Acesso em 11 Abr 2022.

SUSZEK, F. L.; BOAS, M. A. V.; SAMPAIO, S. C.; JUCHEN, C. R.; LIMA, V. L. A. de. DESOBSTRUÇÃO DE EMISSORES COM ÁCIDO FOSFÓRICO EM FERTIRRIGAÇÃO COM CLORETO DE POTÁSSIO VERMELHO. Revista em Agronegócio e Meio Ambiente, Maringá (PR). v. 12, n. 1, p. 9-24, jan./mar. 2019 - e-ISSN 2176-9168. 2019. 15p. https://DOI:10.17765/2176-9168.2019v12n1p9-24.

TEIXEIRA, M.B.; COELHO, R.D.; CUNHA, F.N.; SILVA, N.F. DA. Curva característica da vazão de gotejadores em diferentes temperaturas da água e

ação do cloro ou ácido. Fortaleza, CE. Revista Brasileira de Agricultura Irrigada, v.8, nº. 3, p. 220 - 233, 2014.

TEIXEIRA, M. B. Efeitos de dosagens extremas de cloro e pH na vazão de gotejadores autocompensantes (irrigação localizada). 2006. 322 f. Tese (Doutorado em Irrigação e Drenagem) - Escola Superior de Agricultura "Luiz de Queiroz", Universidade de São Paulo, Piracicaba, 2006.

TISDALE, S. L.; NELSON, W. L.; BEATON, J. D. **Soil Fertility and Fertilizers**. New York: fourth edition, 1985, 754p.

VERMEIREN, G.A., JOBLING, G.A. **Irrigação localizada**. (Estudos FAO: irrigação e drenagem, 36). Campina Grande: UFPB, 1997. 184p.

VIEIRA, G. H. S.; MANTOVANI, E. C.; SILVA, J. G. F. da; RAMOS, M. M.; SILVA, M. Recuperação de gotejadores obstruídos devido à utilização de águas ferruginosas. **Revista Brasileira de Engenharia Agrícola e Ambiental**, v.8, n.1, p.1-6, 2004, Campina Grande, PB, DEAg/UFCG. 2004, p 5-6.

VILELA, L. A. A.; GUIMARÃES, M. J. L.; SILVA, E. B.; GUIMARÃES, P. T. G.; NOGUEIRA, F. D.; COSTA, C. C.; SENNA, J. R.; JUNQUEIRA, J. **Aplicação do ácido**

cítrico em soluções para irrigação e/ou fertirrigação: prevenção de obstrução de gotejadores e/ ou remoção de obstruções. In: VI SIMPÓSIO BRASILEIRO DE PESQUISA EM CAFEICULTURA IRRIGADA, Aráguari, 2003. Anais. Aráguari: UFU, 2003. 226p.

WHIPKER, B. E.; BAILEY, D. A.; NELSON, P.V.; FONTENO W. C.; HAMMER P.A. A novel approach to calculate acid additions for alkalinity control in greenhouse – irrigation water. **Communications in Soil Science and Plant Analysis**, v.27, n.5-8, p.959-976, 1996.

ZACHARIAS, S.; HEATWOLE, C. D.; COAKLEY, C. W. Robust quantitative techniques for validating pesticide transport models. *Transactions of the ASAE*, St. Joseph, v. 39, n. 1, p. 47-54, 1996.

8 APÊNDICE

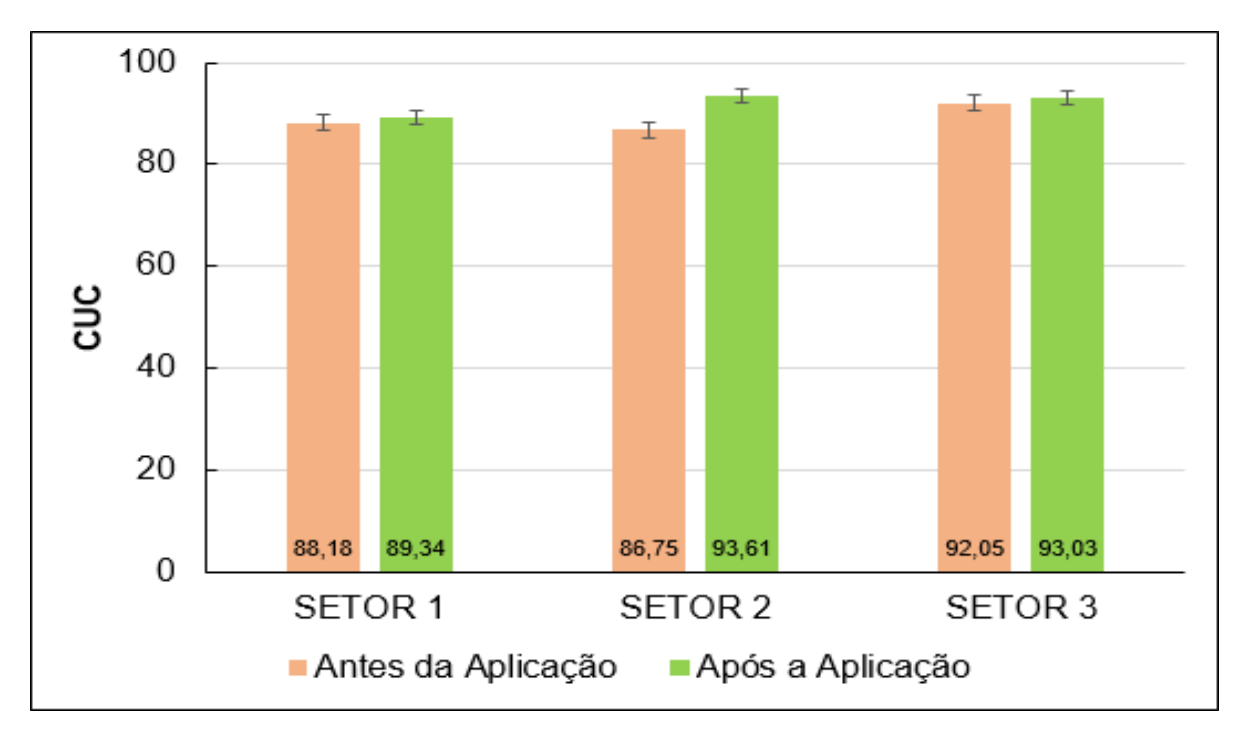


Figura 1A. Coeficiente de uniformidade média obtida dos gotejadores antes e depois da aplicação do HYDRODIS, nas subunidades 1, 2 e 3.

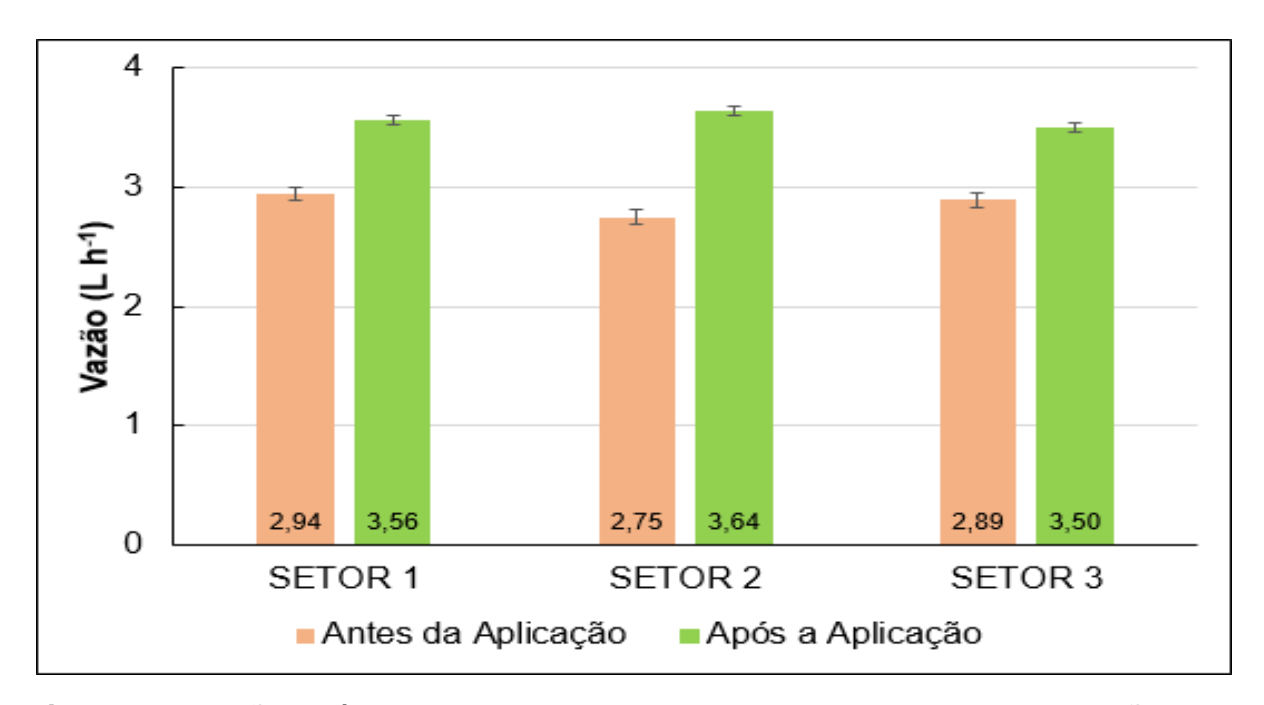


Figura 2A. Vazões médias obtidas dos gotejadores antes e depois da aplicação do HYDRODIS, nas subunidades 1, 2 e 3.

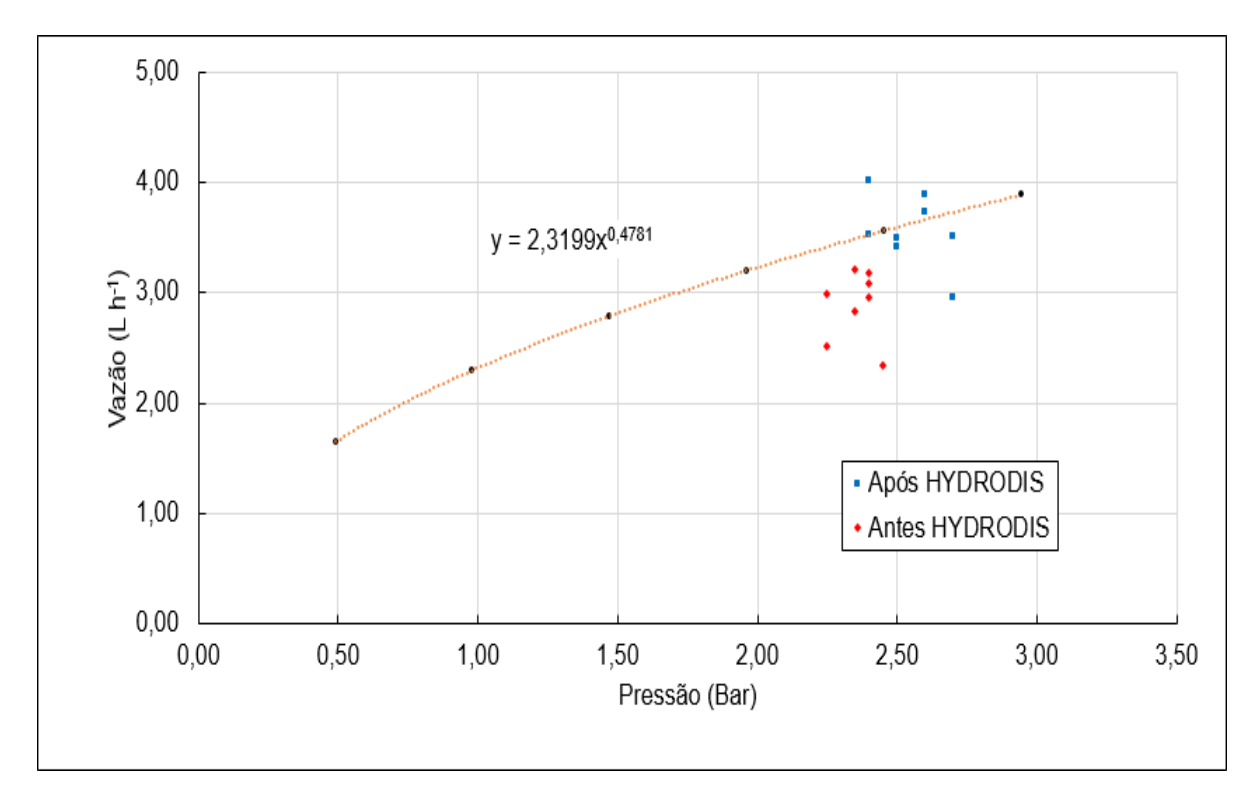


Figura 3A. Gráfico de interpolação das vazões e pressões registradas nos finais das tubulações laterais, antes e após a aplicação do HYDRODIS sobre a curva característica de vazão x pressão do emissor avaliado no ensaio na subunidade 1.

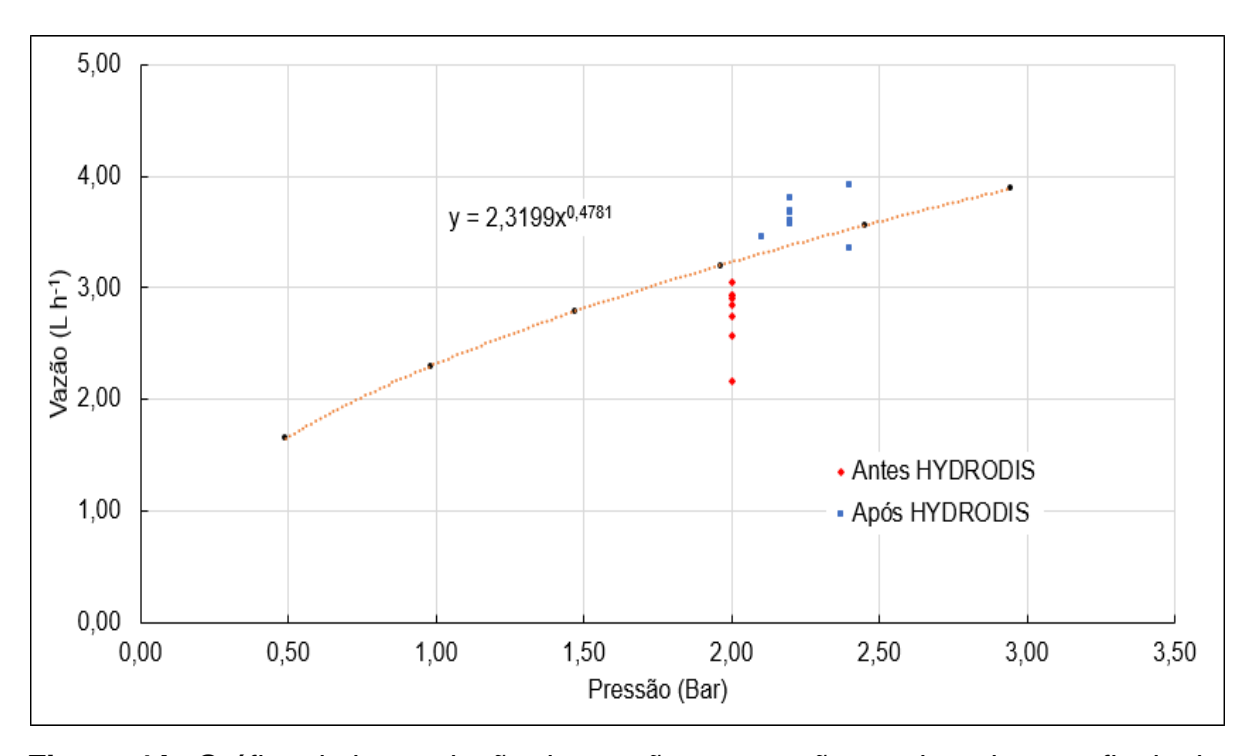


Figura 4A. Gráfico de interpolação das vazões e pressões registradas nos finais das tubulações laterais, antes e após a aplicação do HYDRODIS sobre a curva característica de vazão x pressão do emissor avaliado no ensaio na subunidade 2.

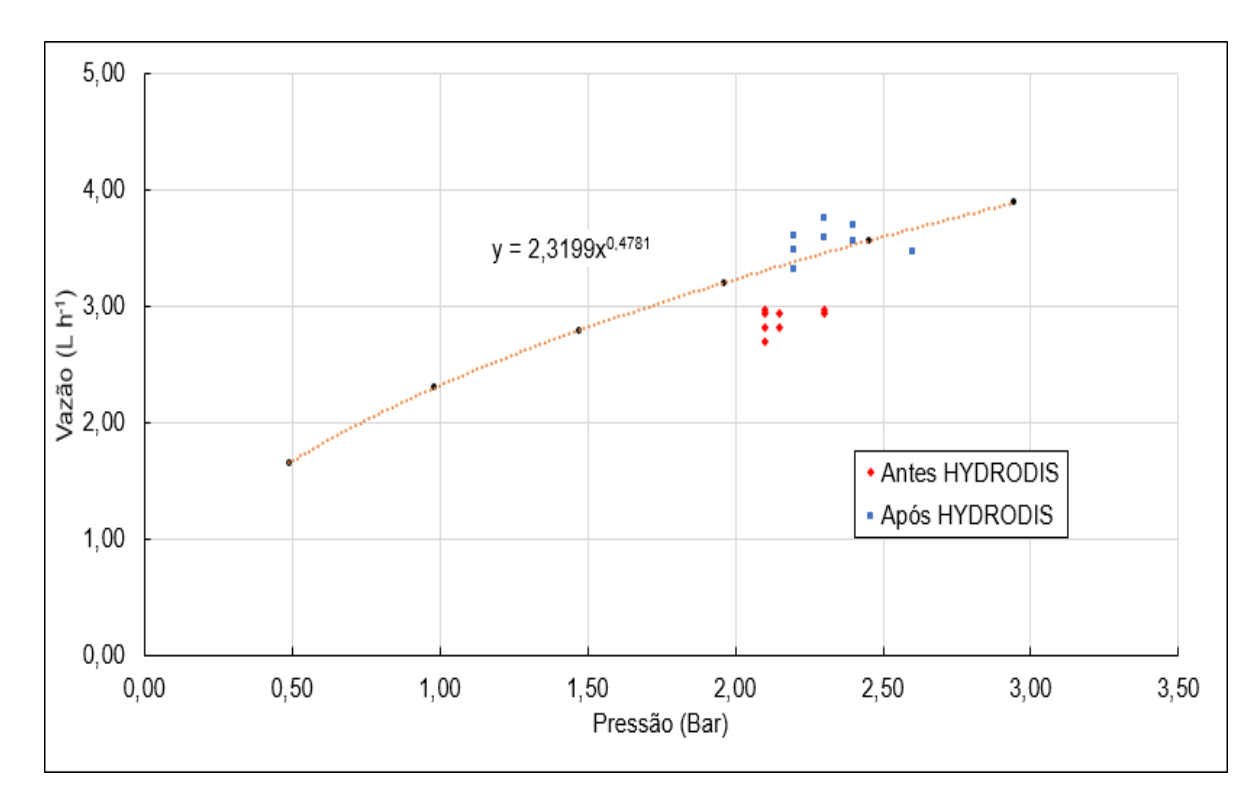


Figura 5A. Gráfico de interpolação das vazões e pressões registradas nos finais das tubulações laterais, antes e após a aplicação do HYDRODIS sobre a curva característica de vazão x pressão do emissor avaliado no ensaio na subunidade 3.

Script da análise estatística no programa computacional R versão 3.4.1 (R, 1991), para um Delineamento em Blocos.

ANÁLISE ESTATÍSTICA (Variável: Vazão)

SCRIPT DE COMANDOS

- > dados=read.table(file.choose(),head=T,dec=",")
- > attach(dados)
- > modelo=aov(Y~H*S*C+Error(B/H/S))
- > summary(modelo)
- shapiro.test(modelo2\$residuals)
- par(mfrow=c(2,2))
- plot(modelo2)
- > bartlett.test(res~H)
- > bartlett.test(res~S)
- > bartlett.test(res~C)
- > library(ExpDes.pt)
- > HSD.test(Y, H, DFerror, MSerror, alpha = 0.05, console=TRUE)
- > coeficient de var

```
RGui (64-bit)
Arquivo Editar Visualizar Misc Pacotes Janelas Ajuda
- - X
R Console
R version 4.1.3 (2022-03-10) -- "One Push-Up"
Copyright (C) 2022 The R Foundation for Statistical Computing
Platform: x86_64-w64-mingw32/x64 (64-bit)
R é um software livre e vem sem GARANTIA ALGUMA.
Você pode redistribuí-lo sob certas circunstâncias.
Digite 'license()' ou 'licence()' para detalhes de distribuição.
R é um projeto colaborativo com muitos contribuidores.
Digite 'contributors()' para obter mais informações e
 'citation()' para saber como citar o R ou pacotes do R em publicações.
Digite 'demo()' para demonstrações, 'help()' para o sistema on-line de ajuda,
ou 'help.start()' para abrir o sistema de ajuda em HTML no seu navegador.
Digite 'q()' para sair do R.
>
```

Figura 6A. Tela inicial do Software estatístico R versão 4.1.3.

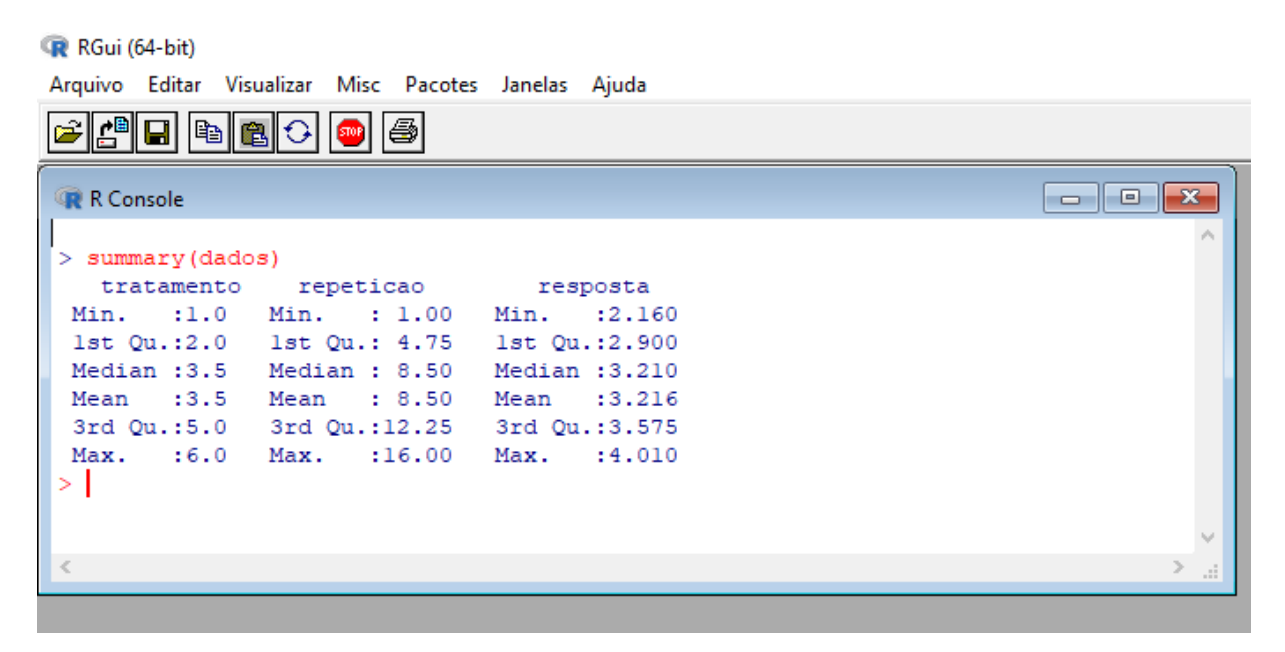


Figura 7A. Tela do software R, saída com resumo dos dados de vazão.

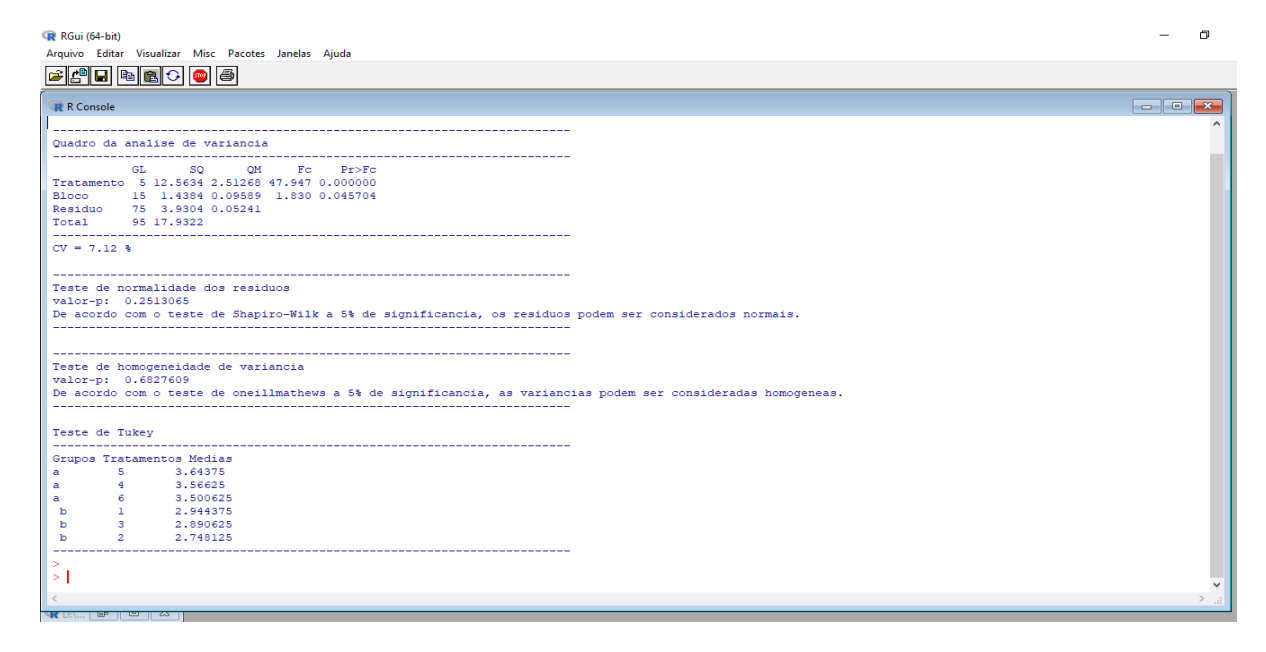


Figura 8A. Tela do software R, saída com resultado da ANOVA, teste de normalidade dos resíduos de Shapiro-Wilk, teste de homogeneidade de variância pelo teste de oneillmathews a 5% de significância e teste de Tukey a 5% de significância dos dados da variável vazão.

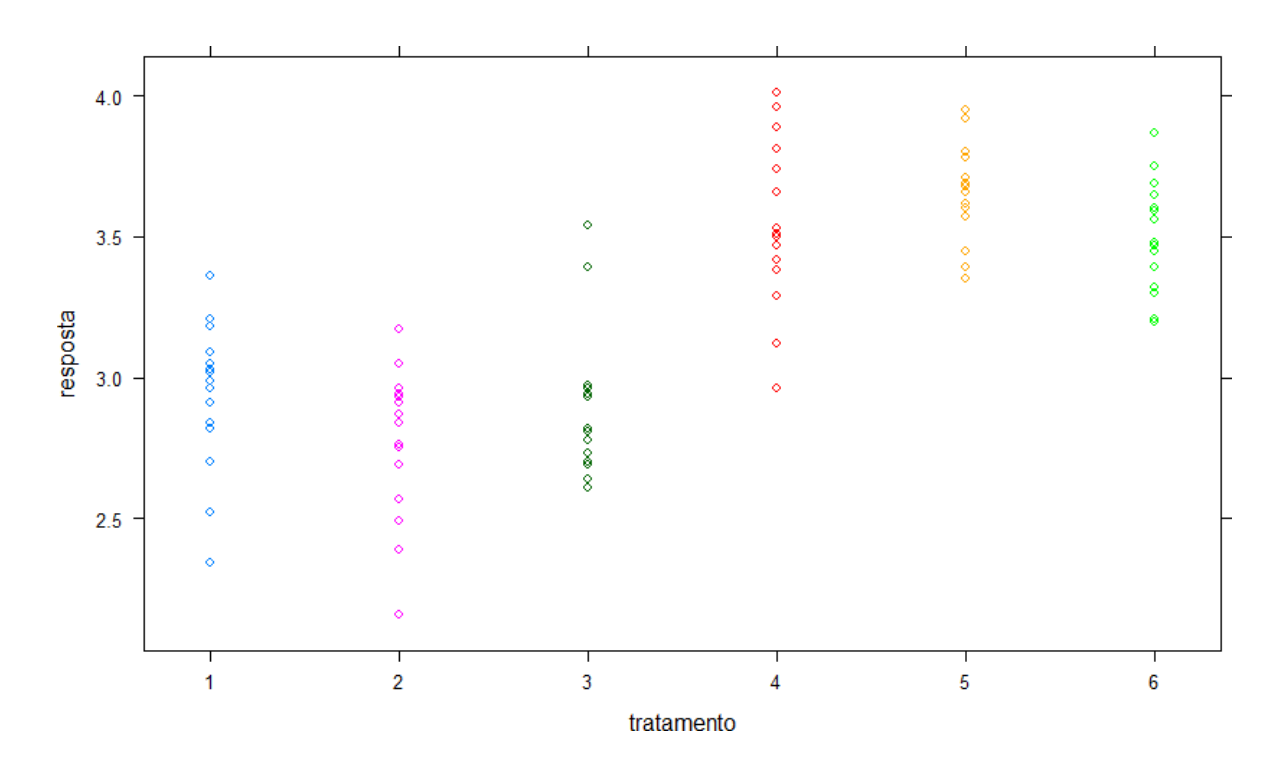


Figura 9A. Tela do software R, saída com resultado do gráficos com os dados da variável resposta (vazão) para os diferentes tratamentos (T1=subunidade 1 antes do HYDRODIS; T2=subunidade 2 antes do HYDRODIS; T3=subunidade 3 antes do

HYDRODIS; T4=subunidade 1 após o HYDRODIS; T5=subunidade 2 após o HYDRODIS; T6=subunidade 3 após o HYDRODIS).

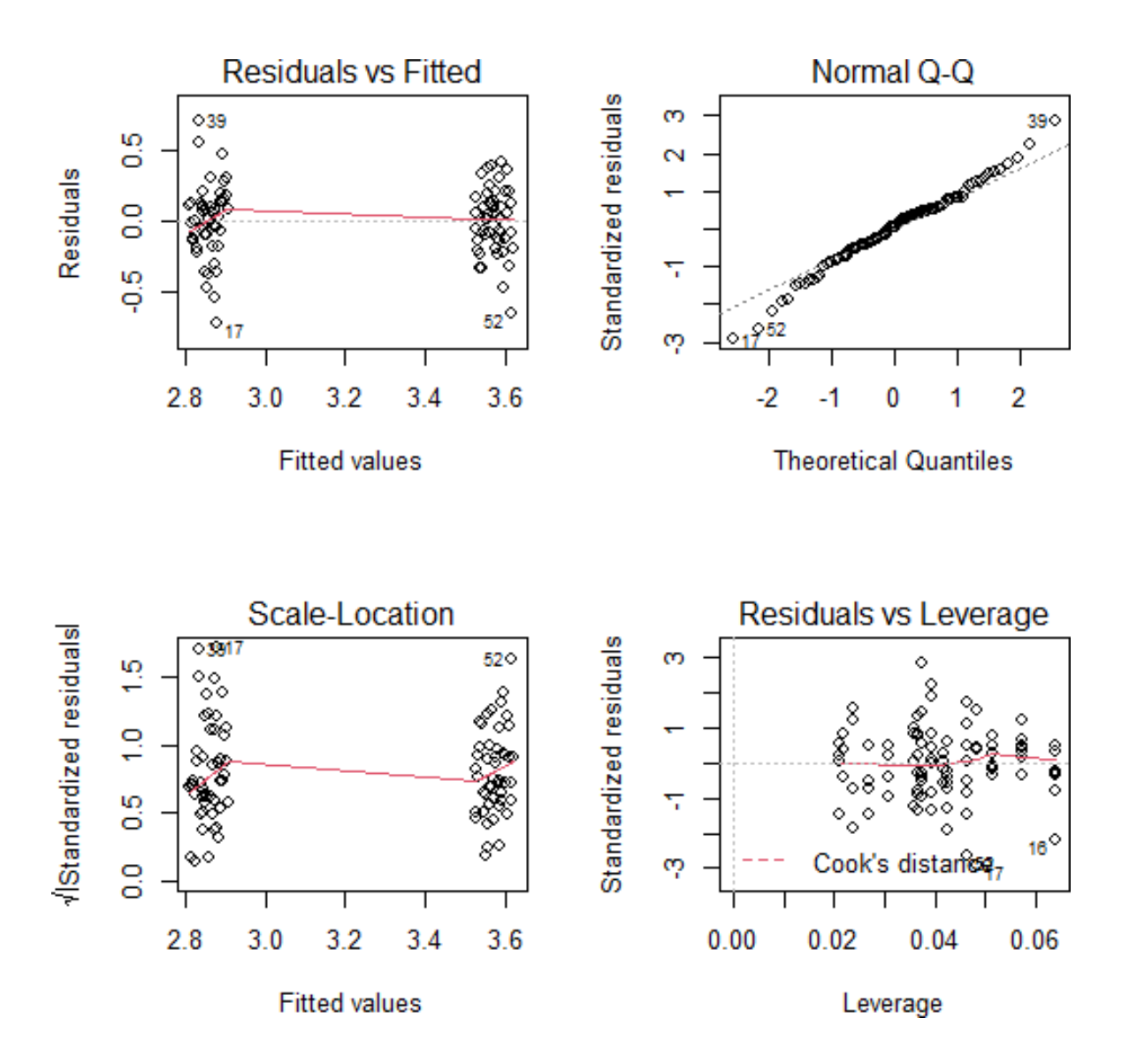


Figura 10A. Tela do software R, saída com resultado do gráficos dos resíduos dos dados analisados.



Figura 11A. Tela do software AutoCAD, saída com resultado de localização e tamanho das subunidades avaliadas.

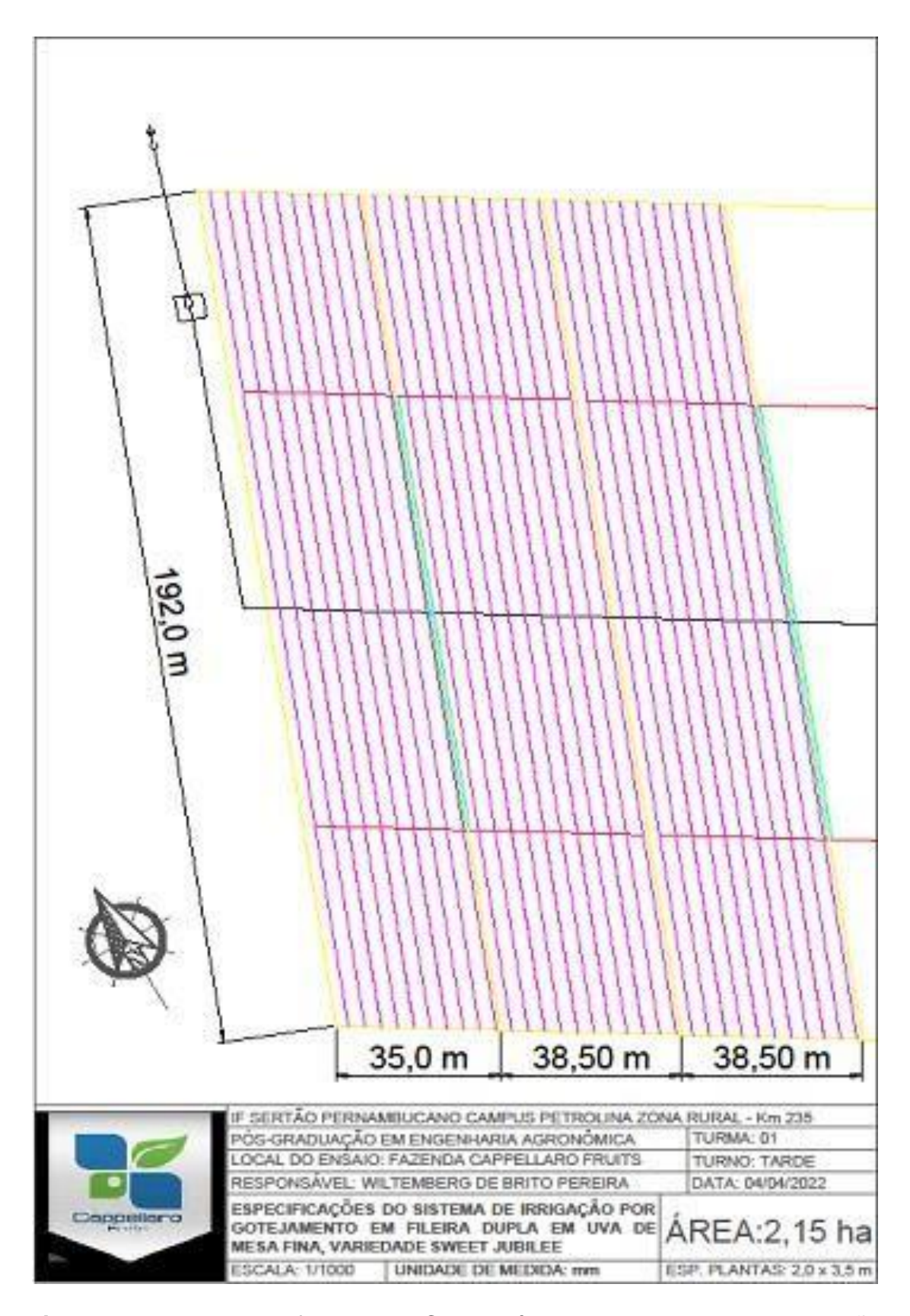


Figura 12A. Tela do software AutoCAD, saída com resultado de disposição das tubulações laterais e tamanho das subunidades avaliadas.



Figura 13A. Tela do software AutoCAD, saída com resultado de especificações das tubulações laterais e tamanho das subunidades avaliadas.

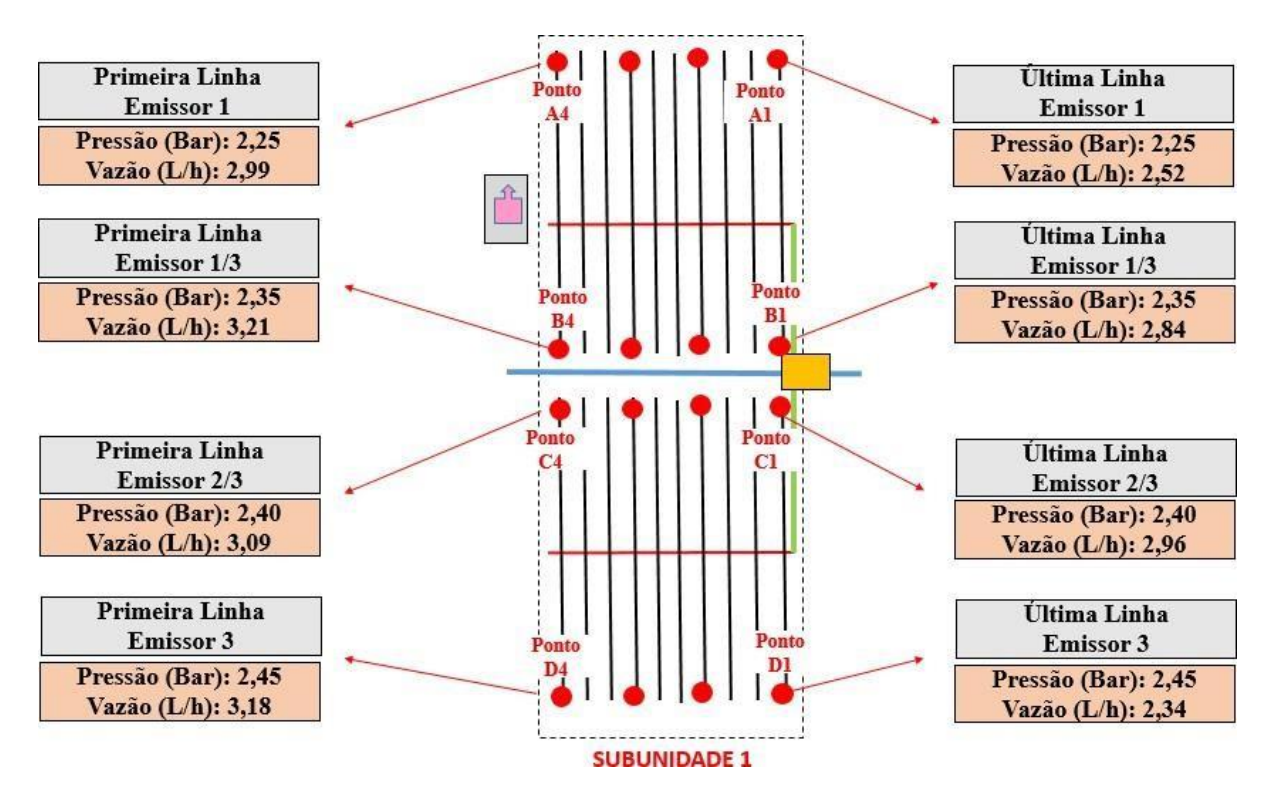


Figura 14A. Croqui esquemático das vazões e pressões registradas na subunidade 1 antes da aplicação do HYDRODIS.

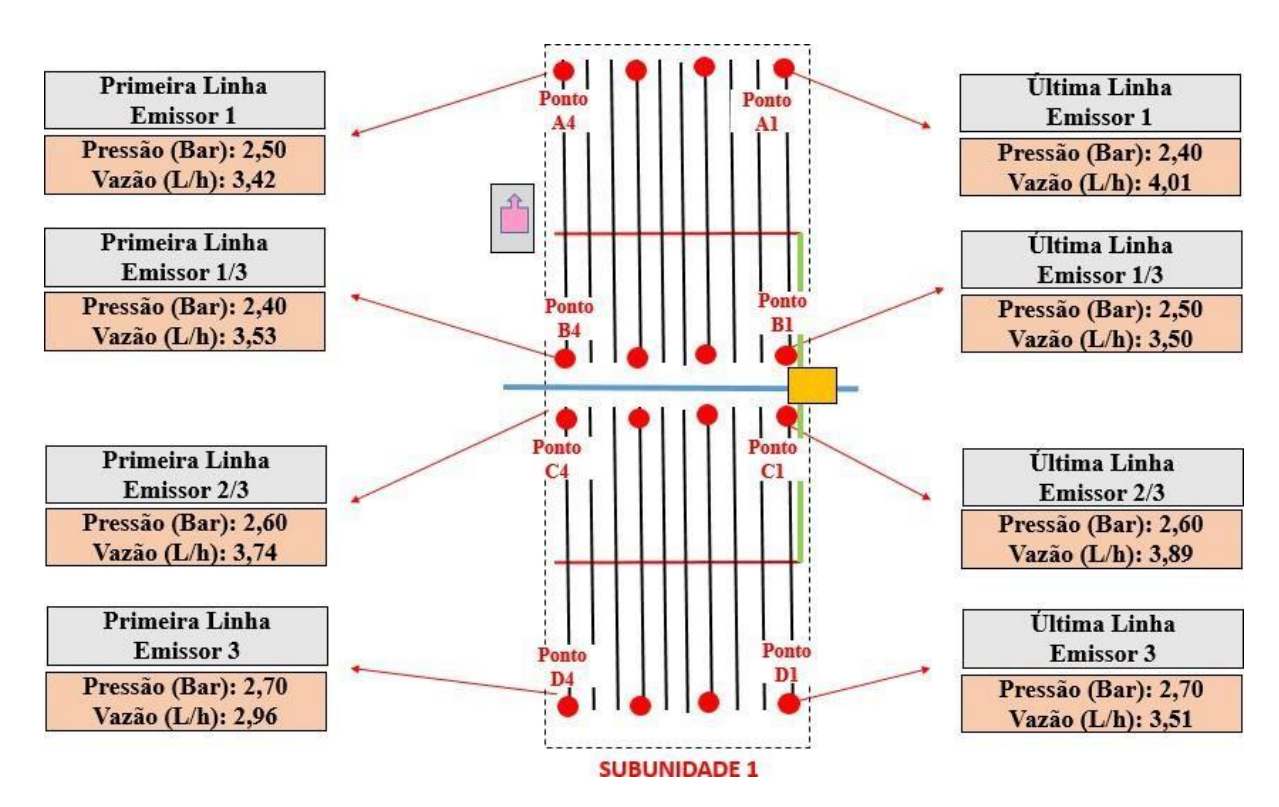


Figura 15A. Croqui esquemático das vazões e pressões registradas na subunidade 1 após a aplicação do HYDRODIS.

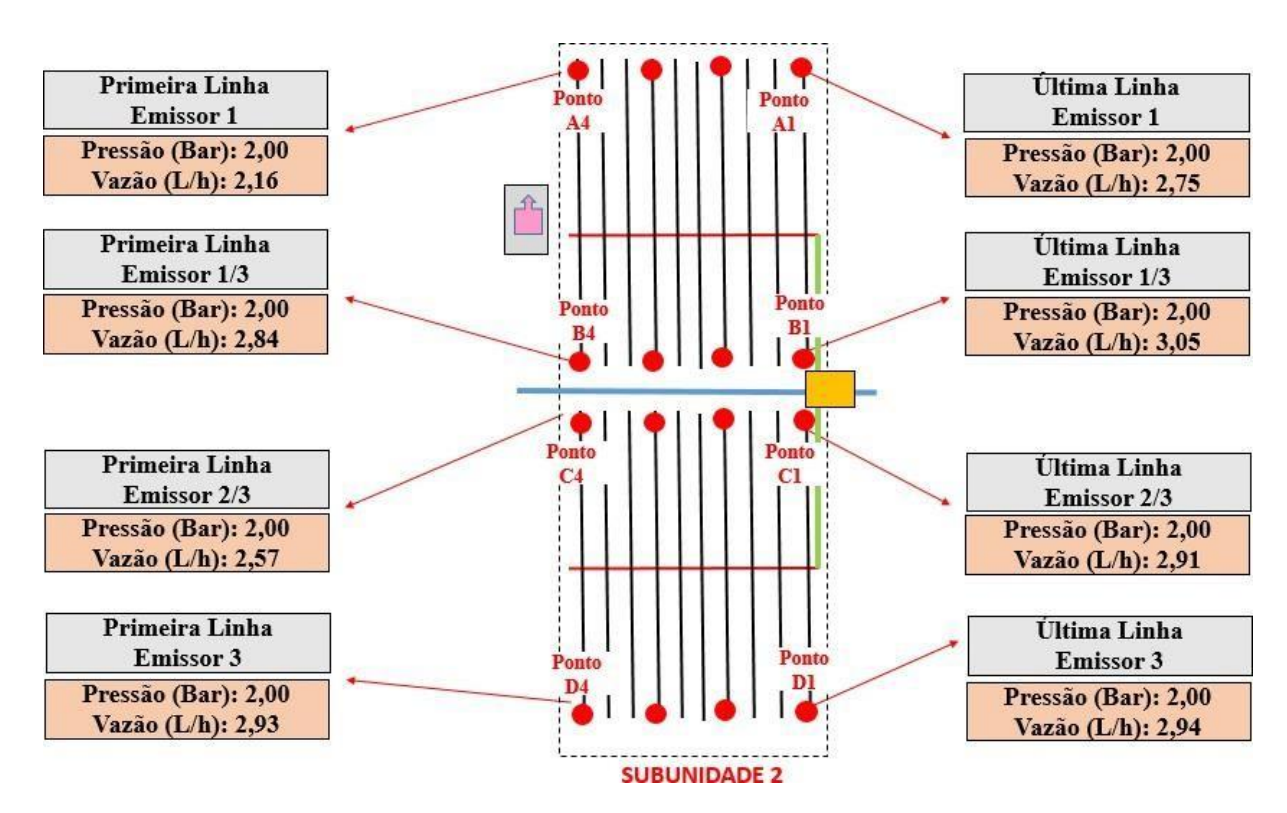


Figura 16A. Croqui esquemático das vazões e pressões registradas na subunidade 2 antes da aplicação do HYDRODIS.

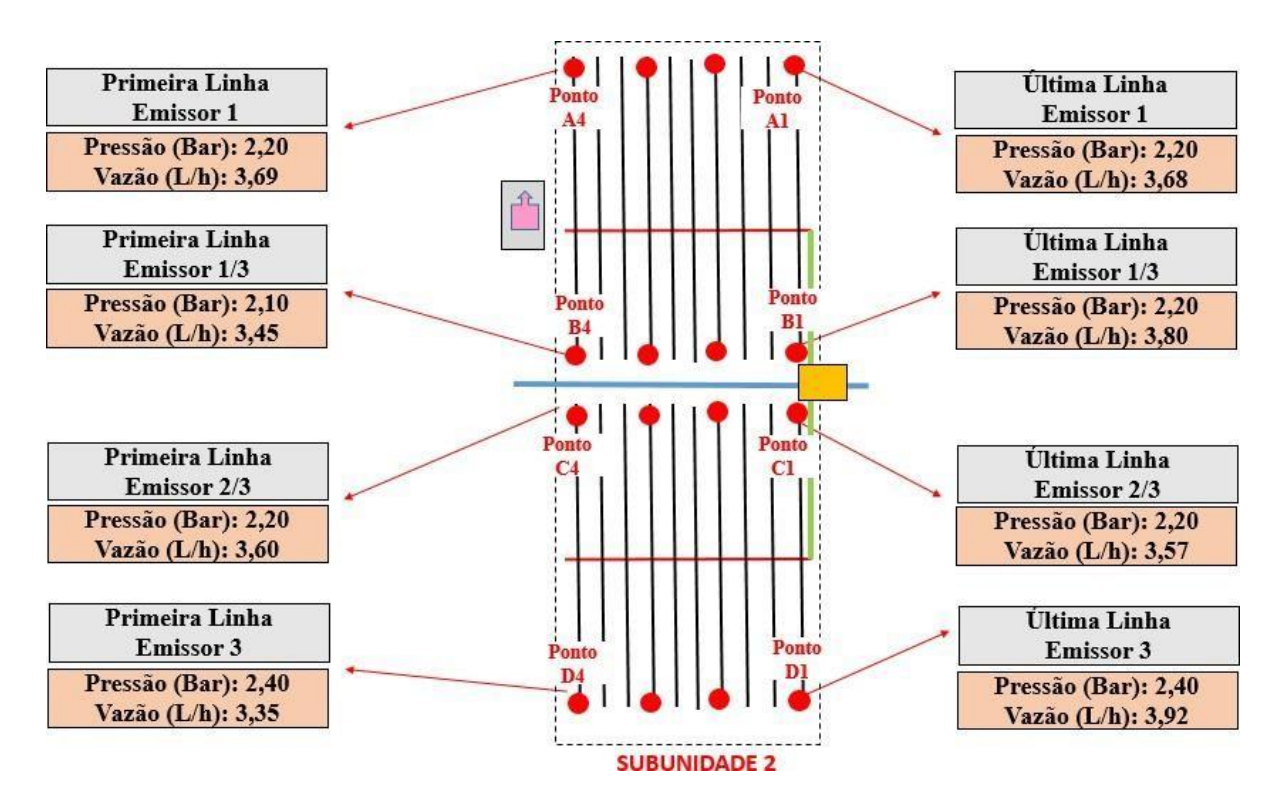


Figura 17A. Croqui esquemático das vazões e pressões registradas na subunidade 2 após a aplicação do HYDRODIS.

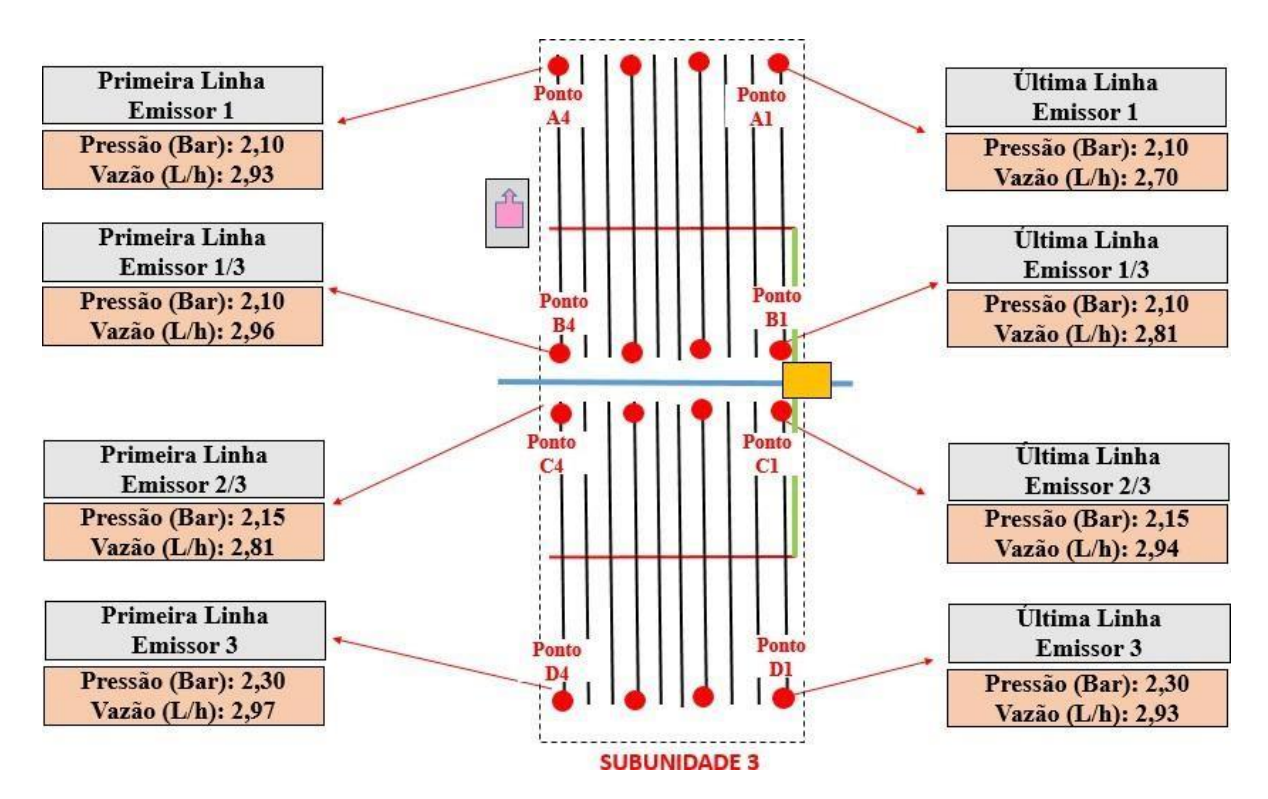


Figura 18A. Croqui esquemático das vazões e pressões registradas na subunidade 3 antes da aplicação do HYDRODIS.

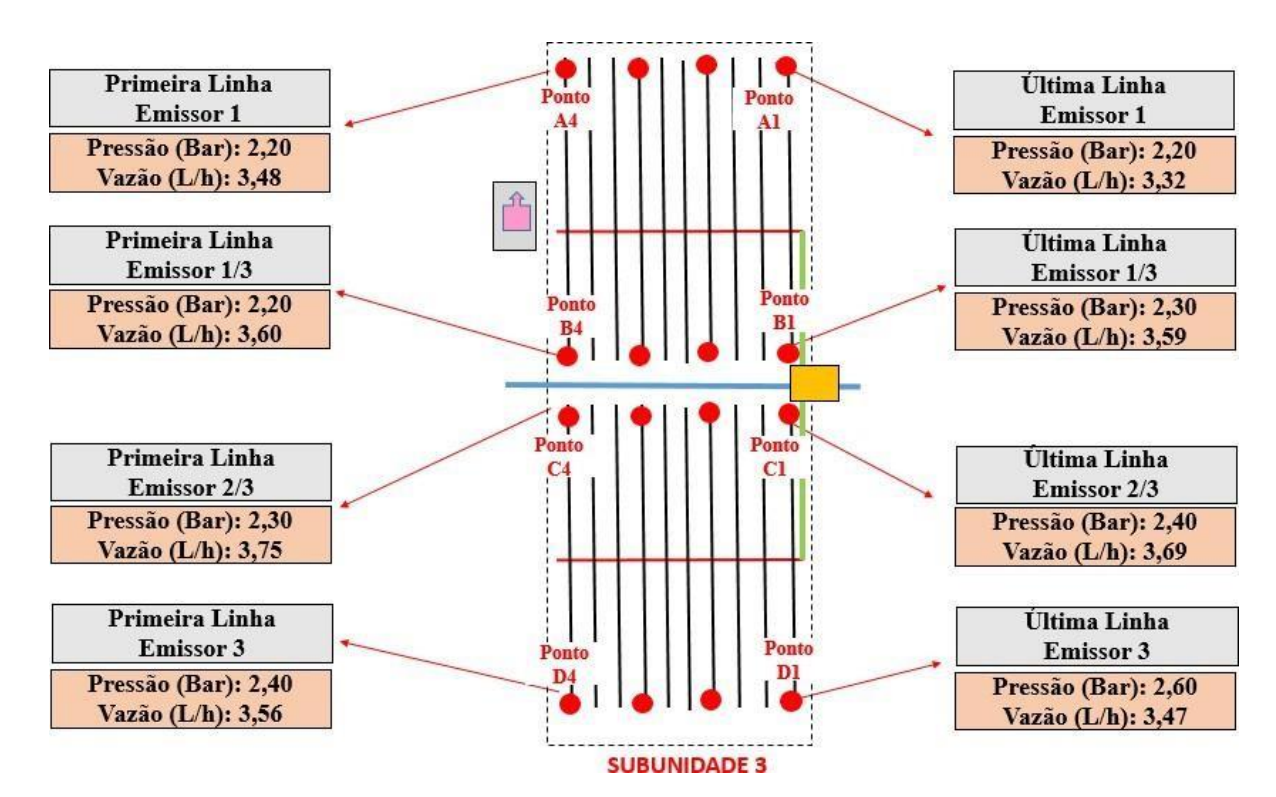


Figura 19A. Croqui esquemático das vazões e pressões registradas na subunidade 3 após a aplicação do HYDRODIS.

9 ANEXOS

Tabela 1N: Características do emissor avaliado no estudo.

Código	Modelo	Interno		Tipo de Labirinto	Espessura da parede (mm)	Pressão de Serviço (Bar)					
NT25	NaanTIF 25 16 mm	2,00	13,90	Cascade	0,65	1,0)-3,0				
Curva Pressão versus Vazão (L h ⁻¹) para diferentes modelos do emissor NaaTIF											
Pressão (mca)	Na 1,0 L h ⁻¹	2,0 L h ⁻¹	n 4,0 L h ⁻¹	Na:	anTIF 25 16 mr	n 4,0 L h ⁻¹	NannTIF 25 16 mm 1,2 L h ⁻¹				
5	0,71	1,43	2,54	0,86	1,65	2,80	0,78				
10	1,01	2,00	3,60	1,20	2,30	3,90	1,10				
15	1,23	2,43	4,41	1,45	2,79	4,73	1,34				
20	1,42	2,80	5,10	1,67	3,20	5,43	1,54				
0.5	1,59	3,11	5,71	1,85	3,56	6,04	1,72				
25	1,00	٥,	٠,	.,	-,	-,	- , - =				

Fonte: Dados de catálogo do fabricante (NAANDANJAIN, 2022). Nota: Destaque para o emissor testado no trabalho em questão.



Figura 1N. Modelo do emissor usado no ensaio.



PRINCIPAIS VANTAGENS

- Tubogotejadores não compensantes NaanTIF de 16, 18 e 20 mm para as mais diversas aplicações em fruticultura, citricultura, olericultura, irrigação de culturas em linha em campo aberto e cultivos protegidos.
- Alto desempenho e resistência cilindrica 16 mm, gotejador com as vantagens únicas do labirinto Cascade.
- Gotejador com passagens amplas de água e diferentes vazões, que permitera uma grande flexibilidade no projeto, de acordo com as necessidades de cada cultura.
- Maior uniformidade de distribuição.
- Projetado e fabricado segundo rigoroso padrão de qualidade, garantindo desempenho hidráulico superior.
- Exclusiva opção de espessura de parede de 0,65 mm para diâmetro nominal de 16 mm.



NaanDan Jain Brasil Ind. Com. Equip. para Irrigação Ltda. Av. Ferdinando Marchi, 1000 Distrito Industrial • Leme/SP • 13.612-410 Fone (19) 3573 7676 • Fax (19) 3573 7673 vendas@naandanjain.com.br • www.naandanjain.com.br







Figura 2N. Catálogo da fabricante do emissor das subunidades avaliadas.

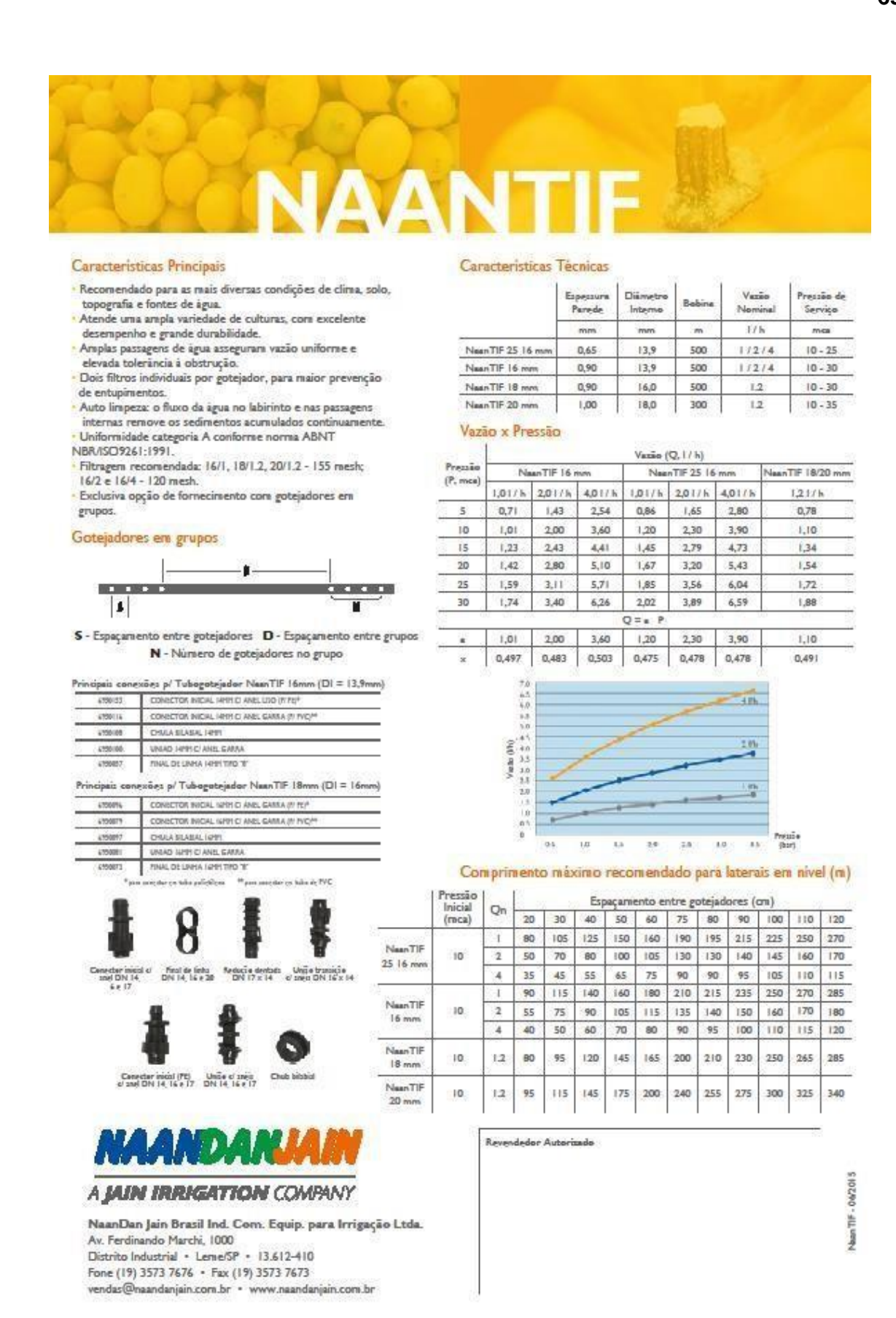


Figura 3N. Catálogo da fabricante do emissor das subunidades avaliadas.



Figura 4N. Modelo do filtro usado no ensaio.

AZUD MODULAR 300 HEAD LOSS

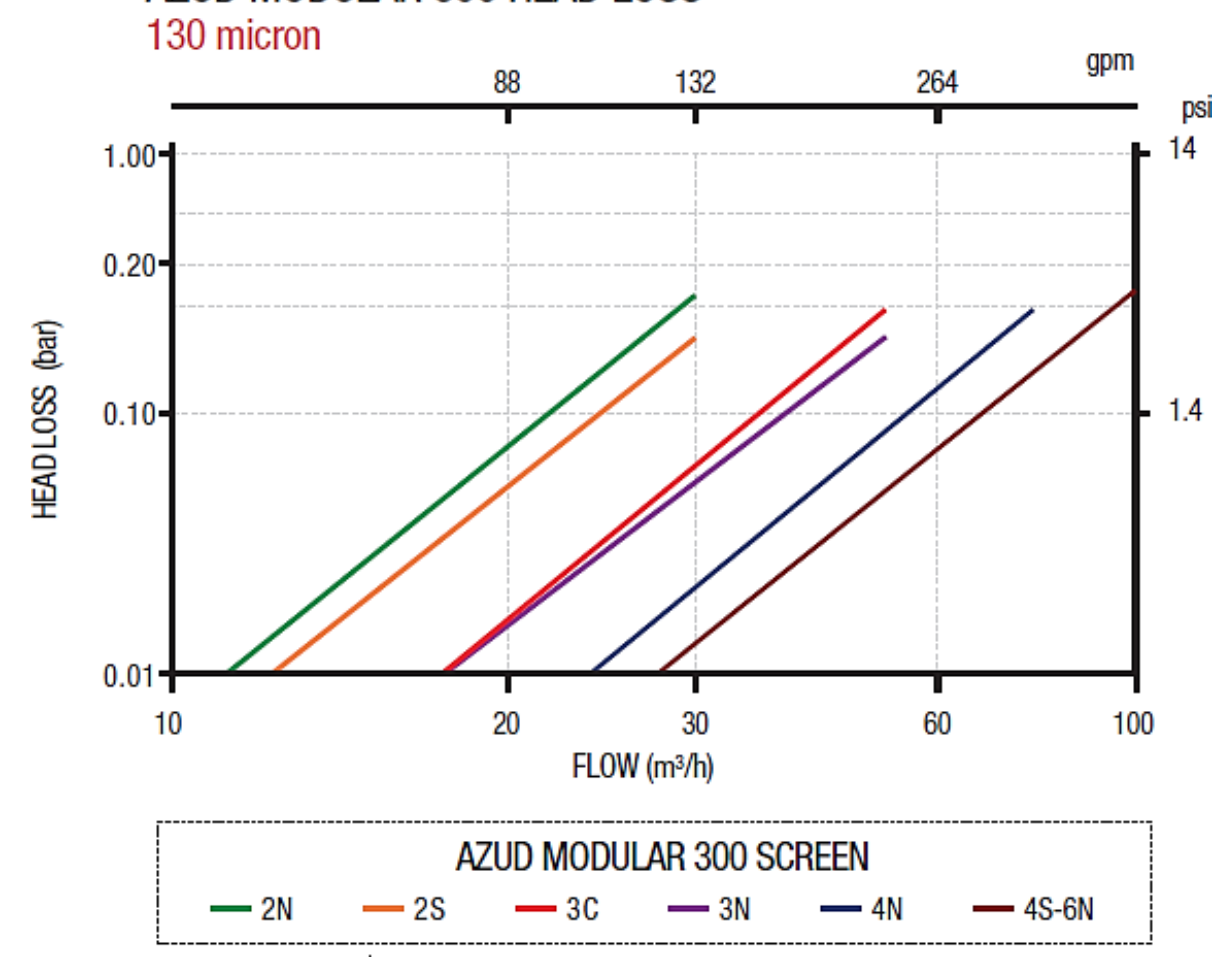


Figura 5N. Curva característica do filtro usado no ensaio.

www.azud.com





00000356

Figura 6N. Catálogo da fabricante do filtro das subunidades avaliadas.

AZUD MODULAR 300 130 micron	Maximum flow		surface		MATERIAL Housing		0.4			nit Bards	_	
	30 m2/h		een cm²							with fibergla	-	
2N	132 gpm	126	in ²		Filtering eleme	nt		1 316 stain		seven		
25	30 m³/h 132 gpm	169			Clamp		Sta	inless ste	d			
3C	50 m¾h 220 gpm	126			Sealing eleme		NB					
3N	50 m≥/h 220 gpm	1.08 169	17 cm² in²		pHs4 • Maxim	num pressure 10 b	ar/145p	nsi • Mand	mum temp	oeraturo 60°C/	/140 °F	
41	70 m2/h 308 gpm	1.65 252	30 cm² in²									
4S	100 m4/h 440 gpm	2.17 334	/4 cm² in²									
6N	100 m³/h 440 gpm		74 cm ²									
Other Mitration grades a												
AZUD MODULAR 2N, 2S, 3C, 3N	1300	44.5,81		HERD LITSE front	130 micron		ROW	132 30 (mah)	SCREEN			psi 14 1.4
				Connection				Dimen	sions			
FILTER CONFIGURATION	Connection	Model	A	В	С	H		W	'n	, X	'n	
	2"	2NR 2NA 2NV 2NW	esp MPT Grooved Grooved	BSP NPT GROOVED BSP	BSP NPT BSP GROOVED	597 2		309	12	133	5	
1	2"Super	2SR 2SA 2SV 2SW	BSP MPT GROOVED GROOVED	BSP NPT GROOVED BSP	BSP NPT BSP GROOVED	721 2	3	309	12	133	5	
#	arc	3CR 3CA 3CV 3CW	BSP MPT GROOVED GROOVED	BSP NPT GROOVED BSP	BSP NPT BSP GROOVED	615 2		336	13	147	6	
	3"	3NR 3NA 3NV 3NW	BSP MPT GROOVED GROOVED	BSP NPT GROOVED BSP	BSP NPT BSP GROOVED	727 2	,	336	13	147	6	
. 12	4"	4NL 4NB	GROOVED BRIDA	GROOVED BRIDA	-	960 3	,	341	13	-	-	
The state of the s	4*Super	4SL 4SB	GROOVED BRIDA	GROOVED BRIDA	-	1200 4	,	341	13	-	·_	
	6-	6NB	BRIDA	BRIDA	-	1200 4	,	531	21	-	-	

Figura 7N. Catálogo da fabricante do filtro das subunidades avaliadas.

SSTEMA A.Z.D., S.A reserves the right to change the characteristics of these products without prior notices





Figura 8N. Bomba injetora usado no ensaio.

Tabela 2N. Características da vazão versus altura monométrica da bomba injetora.

	ALTURA MANOMÉTRICA TOTAL EM METRO (mca)										ALTURA MÁXIMA		
18	20	22	24	26	28	30	32	34	36	38	40	42	44,0
		,	VAZÃO	EM MI	ETROS	CÚBIC	OS PC	R HOP	RA (m³/l	h)			
	3,0	2,7	2,3	2,0	1,7	1,4	1,2	0,9	0,7	0,5	0,3	0,1	

Fonte: THEBE bombas hidráulicas (2022).

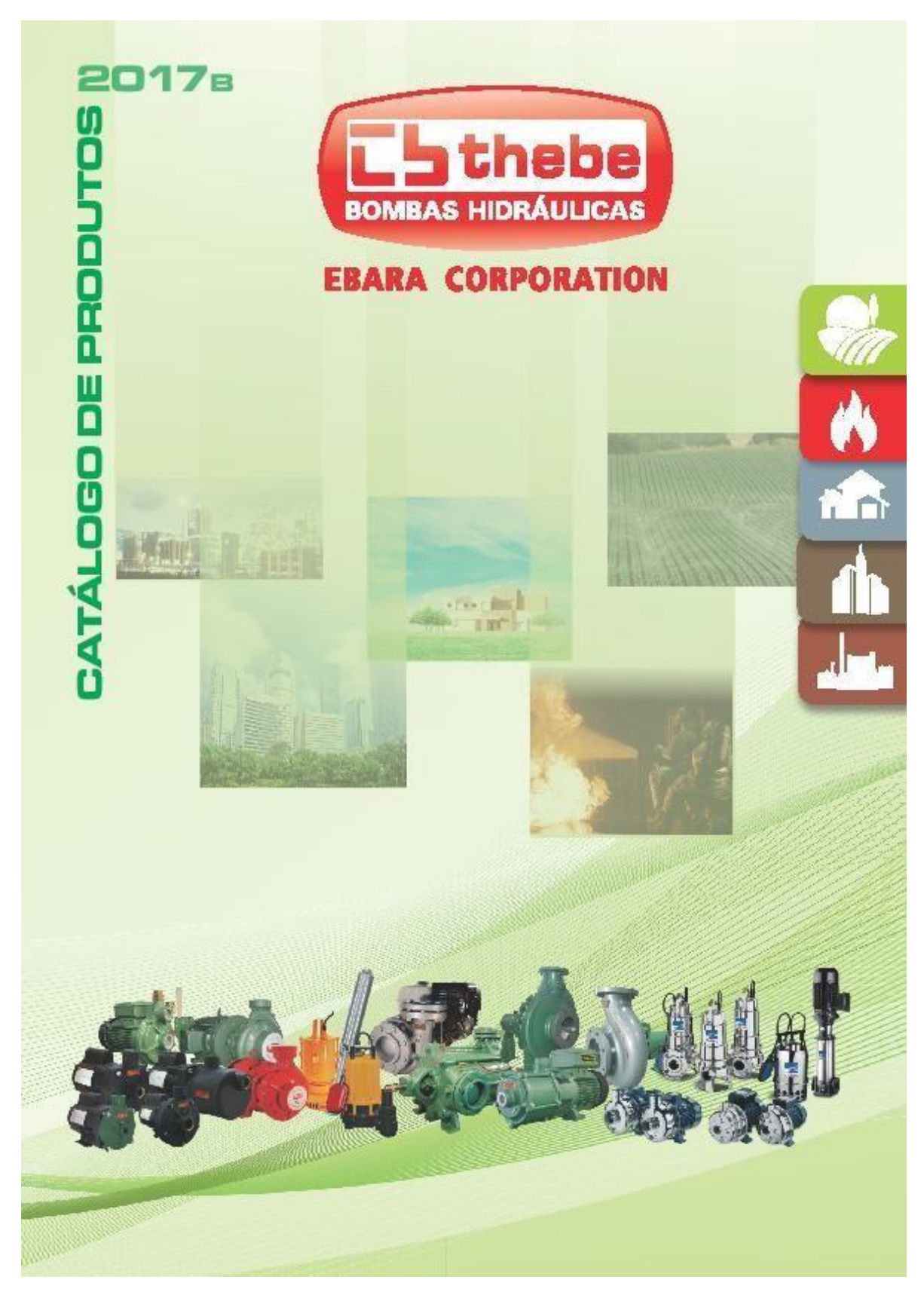


Figura 9N. Catálogo da fabricante do bomba injetora das subunidades avaliadas.



Figura 10N. Catálogo da fabricante do bomba injetora das subunidades avaliadas.

Tabela 3N: Características físico-químicas do produto TECNOFOS 40A®.

Categoria	Limpeza de tanques de pulverização, sistema de
Categoria	irrigação
Empresa	AGROQUIM
Aspecto	Liquido límpido, âmbar-branco
Concentração (%)	Sem dado
Dosagem (fabricante)	5 L/ha ou 5 L/1000 L de calda
Frequência (fabricante)	1 aplicação por ciclo
Composição	Ácido fosfórico
CNPJ da empresa ¹	25.368.101/0001-40

Fonte: AGROQUIM, 2022.

CNPJ¹: Registro contido na embalagem do produto.



Figura 11N. Produto padrão utilizado pela fazenda CAPPELLARO FRUITS.



Figura 12N. Produto HYDRODIS® utilizado no teste, Petrolina/PE.

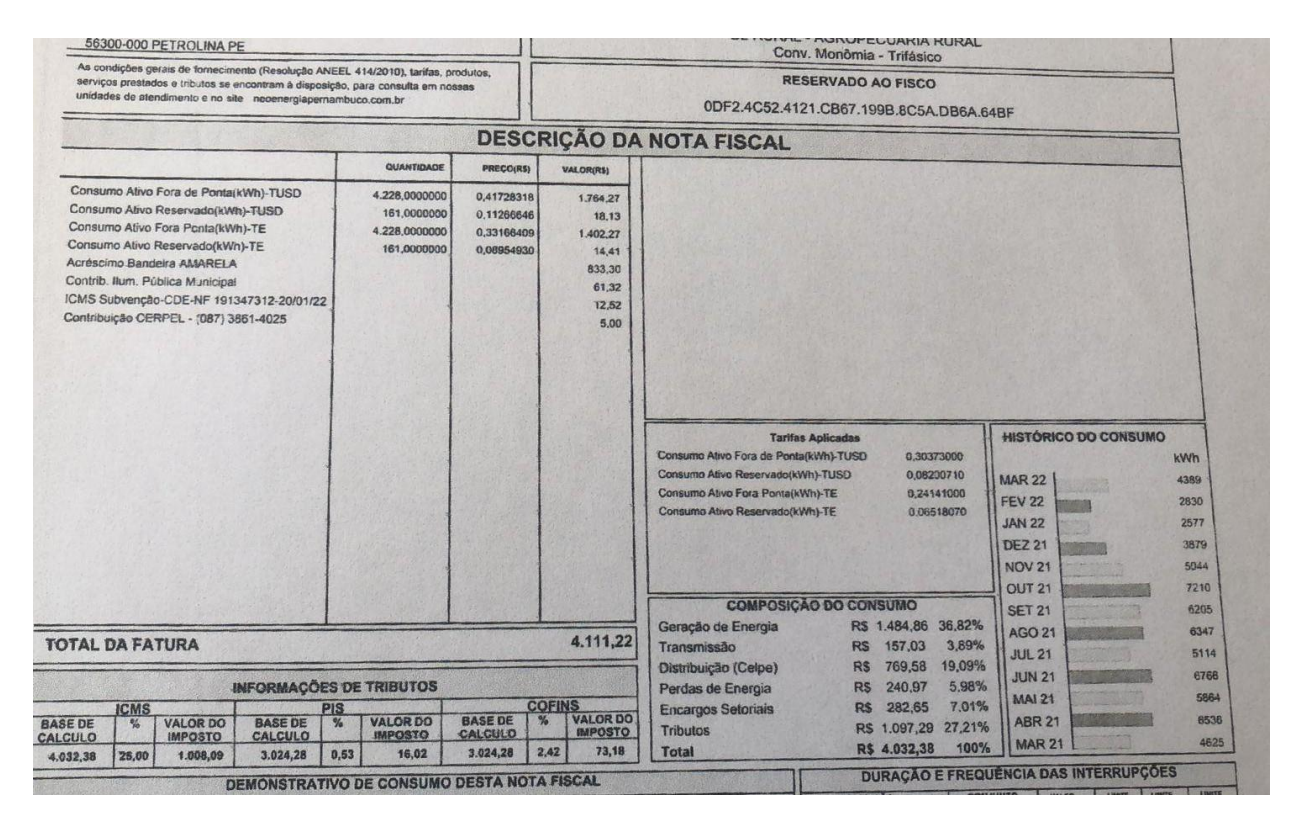


Figura 13N. Taxas cobradas por consumo de energia elétrica em Petrolina/PE, da Neonergia.

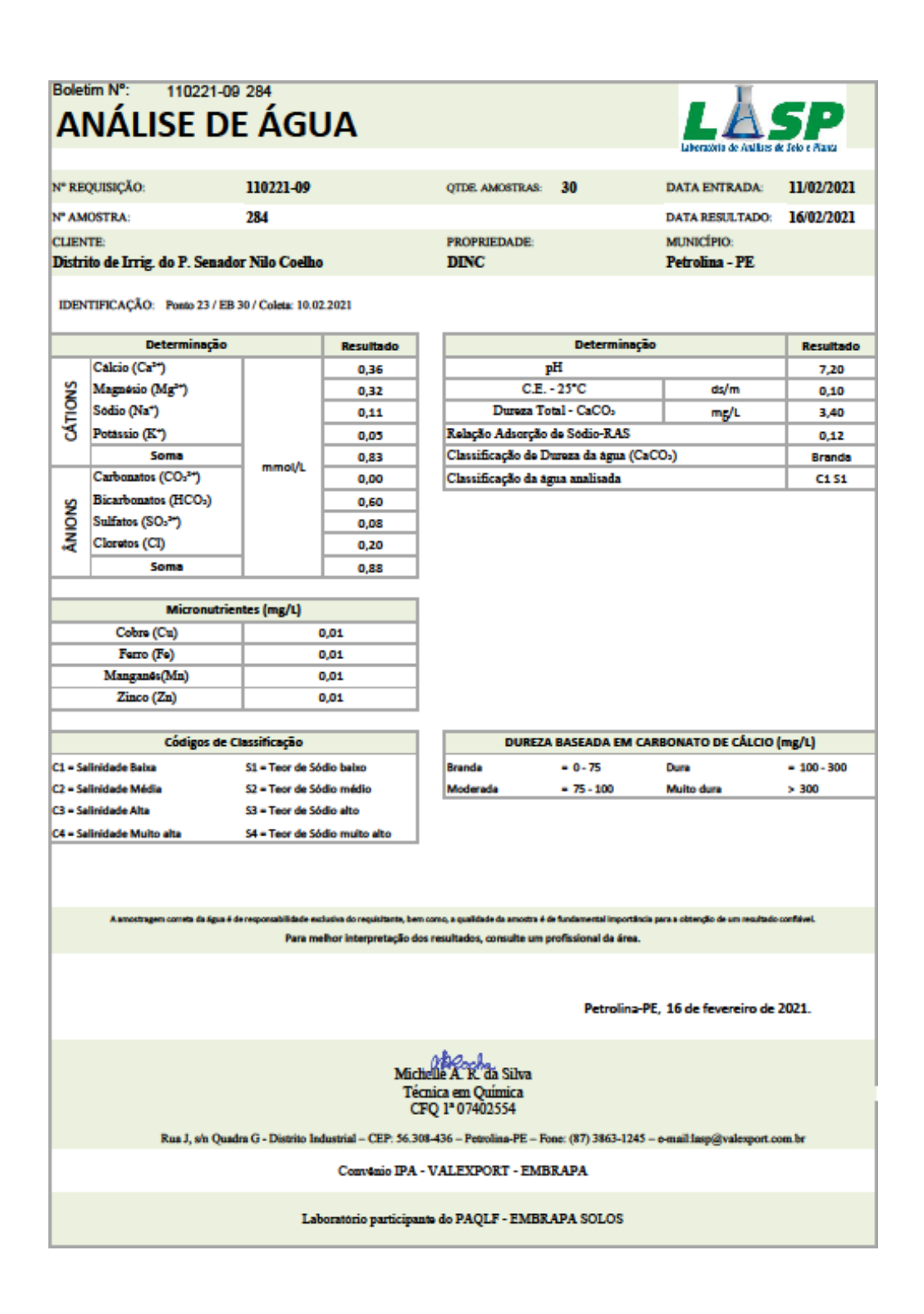


Figura 14N. Análise de parâmetros físico-químicos da água extraída do DINC.